



## بررسی عددی و تخمین خطای معادلات انتشار کسری-زمانی چندجمله‌ای مبتنی بر یک عملگر کسری جدید

مجتبی فردی<sup>۱</sup> ✉، ابراهیم امینی<sup>۲</sup>

(۱) گروه ریاضی کاربردی، دانشکده علوم ریاضی، دانشگاه شهرکرد، شهرکرد، ایران

(۲) گروه ریاضی دانشگاه پیام نور، صندوق پستی ۴۶۹۷-۱۹۳۹۵، تهران ایران

دیبر مسئول: عبدالرحمن رازانی

تاریخ پذیرش: ۱۴۰۲/۲/۱۶

تاریخ دریافت: ۱۴۰۱/۱۰/۲۴

چکیده: در این مقاله، روشی عددی برای حل معادلات انتشار کسری-زمانی چندجمله‌ای مرتبط با یک عملگر کسری جدید ارائه شده است. بر اساس روش تفاضل متناهی، یک طرح نیمه-گسسته در مسیر زمان به دست آورده شده و سپس برای گسسته سازی مکانی روش تقریب طیفی چیزیف استفاده شده است. هم‌چنین آنالیز پایداری و خطای روش طیفی پیش‌نهادی بررسی شده است. بیش‌تر، توسعه‌ی معادله انتشار کسری چندجمله‌ای به معادله‌ی مرتبه‌ی توزیعی در نظر گرفته شده و روی آن تجزیه و تحلیل عددی صورت گرفته شده است. در پایان، با استفاده از برخی مثال‌های عددی، نتایج نظری مورد تایید واقع شده است.

واژه‌های کلیدی: معادلات انتشار کسری-زمانی، تقریب طیفی، آنالیز پایداری، آنالیز خطای.

رده‌بندی ریاضی: 33C45; 65M70, 35R11

### مقدمه

آنالیز مدل‌های دیفرانسیل کسری به دلیل نقش مهمی که در مدل‌سازی کسری دارد، مورد توجه بسیاری از محققان قرار گرفته است. [۱۱-۱۳]. اخیراً برخی روش‌های عددی برای حل معادلات دیفرانسیل کسری جزئی ارائه شده است. برای نمونه به چندین مورد اشاره می‌کنیم. در [۱۲] یک الگوریتم بهبودیافته مبتنی بر طرح‌های تفاضل متناهی برای مسائل مقدار مرزی کسری ارائه شده است. نویسنده‌گان در [۱۳] یک تقریب تفاضل متناهی برای معادلات پراکندگی فرارفت کسری پیش‌نهاد کردند. یک روش عناصر متناهی گالرکین برای معادلات دیفرانسیل زمانی-مکانی در [۱۴] ارائه شده است. در [۱۵] روش عناصر متناهی برای حل معادلات دیفرانسیل کسری دو بعدی با ضرایب متغیر به کار گرفته شده است. روش طیفی هم محلی برای معادلات دیفرانسیل کسری همراه با نامنفردی در نقاط پایانی در [۱۶] استفاده شده است. نویسنده‌گان در [۱۷] با استفاده از روش‌های طیفی پتروف-گالرکین و هم محلی یک تقریب خطای بهین برای جواب مسائل مقدار مرزی کسری ارائه داده‌اند. روش‌های دیگری نیز برای حل برخی مسائل کسری ارائه شده است که می‌توان به روش گالرکین نایپوسته و روش حجم

<sup>✉</sup>نویسنده مسئول مقاله  
رايانame: (M. Fardi) [m.fardi@sku.ac.ir](mailto:m.fardi@sku.ac.ir)

محدود اشاره نمود که در [۱۸، ۱۹] آورده شده است. از آن جایی که مشتقات کسری یک عمل‌گر با هسته‌ی نمایی منفردند، از این‌رو یافتن جواب دقیق و عددی معادلات دیفرانسیل کسری چالش انجیز است. در حال حاضر تعریف‌های تعیین یافته‌ای از مشتقات کسری ارائه شده است. مشتق کپوتو-فابریزیو توسط کپوتو و فابریزیو در [۲۰] معرفی شده است. در تعریف مشتق فابریزیو هسته‌ی منفرد یکتابع نمایی جای‌گزین شده است [۲۱]. برخی کاربردهای مشتق کسری مکانی و زمانی با هسته‌های نمایی در [۲۲] آورده شده است. کاربردهای دیگری از مشتق کپوتو-فابریزیو را می‌توان در [۲۳-۲۵] مشاهده کرد.

در این مقاله یک روش طیفی برای محاسبه‌ی جواب تقریبی معادلات انتشار کسری-زمانی چندجمله‌ای مبتنی بر یک عمل‌گر کسری جدید ارائه می‌دهیم. ابتدا معادلات انتشار کسری-زمانی چندجمله‌ای زیر را در نظر می‌گیریم:

$$\begin{cases} \mathcal{P}_{\alpha_1, \alpha_2, \dots, \alpha_n}(\partial_t)\mathcal{U}(x, t) = \partial_x^{\alpha}\mathcal{U}(x, t) + Q(\mathcal{U}) + f(x, t), & (x, t) \in \Omega \times J, \\ \mathcal{U}(x, t)|_{t=0} = h(x), & x \in \bar{\Omega}, \\ \mathcal{U}(x, t)|_{x \in \partial\Omega} = 0, & t \in J, \end{cases} \quad (1.1)$$

که در آن  $J = (0, T]$  بازه زمانی با شرایط  $0 < T < +\infty$  است. به علاوه،  $Q(\mathcal{U})$  در شرایط زیر صدق می‌کند:

• عدد ثابت مثبت  $c$  وجود دارد به‌طوری که  $|Q(\mathcal{U})| \leq c|\mathcal{U}|$

• عدد ثابت مثبت  $c$  وجود دارد به‌طوری که  $|Q'(\mathcal{U})| \leq c$

در اینجا

$$\mathcal{P}_{\alpha_1, \alpha_2, \dots, \alpha_n}(\partial_t)\mathcal{U}(x, t) = \sum_{j=1}^n d_j {}^{CF}\partial_t^{\alpha_j} \mathcal{U}(x, t),$$

که در آن  $1 - n < \alpha_j < 1, \alpha_j < \alpha_{j+1}, j = 1, 2, \dots, n$  اعداد حقیقی و مثبت هستند و عمل‌گر کسری  ${}^{CF}$  به صورت زیر است:

$${}^{CF}\partial_t^\alpha \mathcal{U}(x, t) := \int_0^t \frac{\partial \mathcal{U}(x, s)}{\partial s} \vartheta_\alpha(t-s) ds, \quad 0 < \alpha < 1,$$

$$\vartheta_\alpha(t) := \frac{e^{-\frac{\alpha}{1-\alpha}t}}{1-\alpha}$$

اگر  $0 < Q(\mathcal{U}) \neq 0$  آن‌گاه مسئله‌ی (۲.۴) شبکه‌ای است. در غیر این صورت خطی است. ساختار این مقاله به شرح زیر است: در قسمت‌های ۲ و ۳، روش محاسباتی برای بدست آوردن جواب عددی معادلات انتشار چندجمله‌ای و مرتبه‌ی توزیعی مبتنی بر عمل‌گر کسری کپوتو-فابریزیو ارائه شده است. علاوه بر این، هم‌گرایی و پایداری این روش اثبات شده است. در قسمت ۴، با ارائه مثال‌هایی عمل‌گر روش عددی مورد نظر بررسی شده است. در قسمت ۵، نتایج این مقاله آورده شده است.

## ۲ جواب معادلات انتشار کسری-زمانی چندجمله‌ای

### ۱.۲ گسسته‌سازی عمل‌گر کسری

گسسته‌سازی از  $\bar{J}$  با گام زمانی ثابت  $\Delta t = \frac{T}{N}$  انجام می‌شود و با  $t_k = k\Delta t$  برای  $N = \frac{T}{\Delta t}$  نمایش داده می‌شود. فرض کنیم  $\mathcal{U}^k := \mathcal{U}(x, t_k)$  و دنباله‌ی  $\{\mathcal{U}^k\}_{k=0}^M$  را در نظر می‌گیریم. مشتق زمانی گسسته  $\delta_t \mathcal{U}^{k-\frac{1}{2}} = \frac{\mathcal{U}^k - \mathcal{U}^{k-1}}{\Delta t}$  را با نماد  $\delta_t$  نشان می‌دهیم. اکنون مشتق کسری-زمانی را با استفاده از طرح تفاضلی متناهی زیر تقریب می‌زنیم:

$${}^{CF}\partial_t^\alpha \mathcal{U}^{k+\frac{1}{2}}(x) = \alpha^{-1} \sum_{j=1}^{k+1} \mathcal{D}_{\alpha, j}^{k+\frac{1}{2}} \delta_t \mathcal{U}^{j-\frac{1}{2}} + r_1^{k+\frac{1}{2}}(x), \quad k \geq 0, \quad (1.2)$$

که در آن

$$\mathcal{D}_{\alpha, j}^{k+\frac{1}{2}} = e^{-\frac{\alpha \Delta t}{1-\alpha}(k+\frac{1}{2}-j)} - e^{-\frac{\alpha \Delta t}{1-\alpha}(k-j+\frac{1}{2})}, \quad (j = 1, 2, \dots, k+1).$$

قضیه ۱.۲. (۲۶) برای هر  $1 < \alpha < \infty$ ، ضرایب  $\mathcal{D}_{\alpha, j}^{k+\frac{1}{2}}$  در شرایط زیر صدق می‌کنند:

$$\mathcal{D}_{\alpha, j}^{k+\frac{1}{2}} > 0, \quad \forall j \leq k+1 \quad \bullet$$

$$\mathcal{D}_{\alpha, j}^{k+\frac{1}{2}} \leq \mathcal{D}_{\alpha, j+1}^{k+\frac{1}{2}}, \quad \forall j \leq k \quad \bullet$$

$$\mathcal{D}_{\alpha,k+1}^{k+1} = \mathcal{D}_{\alpha,1}^1, \quad \mathcal{D}_{\alpha,k}^{k+1} = \mathcal{D}_{\alpha,1}^r, \quad \dots$$

$$\cdot \sum_{j=1}^{k-1} (\mathcal{D}_{\alpha,j+1}^{k+1} - \mathcal{D}_{\alpha,j}^{k+1}) + \mathcal{D}_{\alpha,1}^{k+1} = \mathcal{D}_{\alpha,k}^{k+1} = \mathcal{D}_{\alpha,1}^r, \quad \dots$$

قضیه ۲.۲ برای هر  $1 < \alpha < 2$ ، رابطه‌ی زیر برقرار است:

$$r_{\alpha}^{k+1}(x) = - \sum_{j=1}^{k+1} \int_{t_{j-1}}^{t_j} \frac{(s - t_{j-\frac{1}{\alpha}})}{1-\alpha} \frac{\partial^r \mathcal{U}(x,s)}{\partial s^r} \Big|_{s=\varsigma_j} e^{-\frac{\alpha}{1-\alpha}(t_{k+1}-s)} ds,$$

که در آن

$$|r_{\alpha}^{k+1}(x)| \leq \frac{c}{\alpha} e^{\frac{r\alpha}{1-\alpha}} \max_{t \in J} |\partial_t^r \mathcal{U}(x,t)| \Delta t^r, \quad -1 \leq k \leq N-1, \quad \forall x \in \Omega, \quad \text{or} \quad r_{\alpha}^{k+1} = O(\Delta t^r),$$

در اینجا  $c$  و  $\varsigma_j \in (t_{j-1}, t_j)$  مستقل از  $\Delta t$  است.

## ۲.۲ حالت اول: جواب معادلات انتشار کسری-زمانی چندجمله‌ای خطی

عبارت  $\mathcal{P}_{\alpha_1, \alpha_2, \dots, \alpha_n}(\partial_t) \mathcal{U}$  را با استفاده از طرح تفاضل متناهی زیر توصیف می‌کنیم:

$$\mathcal{P}_{\alpha_1, \alpha_2, \dots, \alpha_n}(\partial_t) \mathcal{U}^{k+1}(x) = \mathcal{P}_{\alpha_1, \alpha_2, \dots, \alpha_n}(\bar{\partial}_t) \mathcal{U}^{k+1}(x) + r_{\alpha}^{k+1}(x),$$

که در آن

$$\mathcal{P}_{\alpha_1, \alpha_2, \dots, \alpha_n}(\bar{\partial}_t) \mathcal{U}^{k+1}(x) = \sum_{j=1}^n d_j \alpha_j^{-1} \sum_{i=1}^{k+1} \mathcal{D}_{\alpha_j, i}^{k+1} \delta_i \mathcal{U}^{i-\frac{1}{\alpha}}. \quad (2.2)$$

در اینجا، خطای برشی به صورت زیر است:

$$r_{\alpha}^{k+1} = O(\Delta t^r).$$

سرانجام، با حذف شرایط خطای جایگزین کردن  $u^{k+1}$ ، مسئله‌ی نیمه‌گسسته‌ی زیر را برای معادلات انتشار کسری زمانی چندجمله‌ای داریم:  
طرح I-L: فرض کنیم  $u^k = h(x)$  به گونه‌ای پیدا می‌کنیم که

$$\begin{cases} \mathcal{P}_{\alpha_1, \dots, \alpha_n}(\bar{\partial}_t) u^{k+1} = \partial_x^r u^{k+1} + f^{k+1}, \quad x \in \bar{\Omega}, \quad 0 \leq k, \\ u^{k+1}|_{\partial\Omega} = 0, \quad -1 \leq k \leq N-1, \end{cases}$$

یا

$$\begin{cases} \mathcal{L} u^{k+1} = \mathcal{F}^{k+1}, \quad x \in \bar{\Omega}, \quad 0 \leq k, \\ u^{k+1}|_{\partial\Omega} = 0, \quad -1 \leq k \leq N-1, \end{cases} \quad (3.2)$$

که در آن

$$\mathcal{L}(*) = [\sum_{j=1}^n d_j \alpha_j^{-1} \Delta t^{-1} D_{\alpha_j, k+1}^{k+1} - \partial_x^r](*), \quad \mathcal{F}^{k+1} = V^{\alpha_1, \dots, \alpha_n}(u^0, \dots, u^k) + f^{k+1},$$

در اینجا

$$V^{\alpha_1, \dots, \alpha_n}(u^0, \dots, u^k) = \sum_{j=1}^n d_j \alpha_j^{-1} \Delta t^{-1} W^{\alpha_j}(u^0, \dots, u^k),$$

$$W^{\alpha_j}(u^0, \dots, u^k) = D_{\alpha_j, 1}^{k+1} u^0 + \sum_{i=1}^k (D_{\alpha_j, i+1}^{k+1} - D_{\alpha_j, i}^{k+1}) u^i.$$

## ۱.۲.۲ تقریب طیفی چبیشف برای (۳.۲)

فضای  $\mu$ -اندازه‌پذیر هیلبرت زیر را در نظر می‌گیریم:

$$L^{\frac{1}{2}}((-1, 1), d\mu(x)), d\mu(x) = w(x)dx = (1 - x^2)^{-\frac{1}{2}}dx.$$

علاوه‌براین، فضای هیلبرت  $(L^{\frac{1}{2}}((-1, 1), d\mu(x)))$  با ضرب داخلی زیر را در نظر می‌گیریم:

$$\langle u, v \rangle_{\circ, \omega} = \int_{-1}^1 u(x)v(x)(1 - x^2)^{-\frac{1}{2}}d(x).$$

قضیه ۳.۲.۲. فرض کنید  $\mathbb{P}_M$  مجموعه‌ی چند جمله‌ای‌های از درجه‌ی کمتر و مساوی  $M$  باشد اگر  $B_M$  دنباله‌ای از چند جمله‌ای‌های متعامد روی  $(-1, 1)$  از درجه‌ی کمتر از  $M$  باشد، به عبارت دیگر:

$$B_M = \{u \in \mathbb{P}_M | \langle u, v \rangle_{\circ, \omega} = 0, \forall v \in \mathbb{P}_{M-1}\},$$

آن‌گاه هسته‌ی بازتویید  $K_M : (-1, 1) \times (-1, 1) \rightarrow \mathbb{R}$  وجود دارد به‌طوری که

$$u(x) = \langle u, K_M(x, .) \rangle_{\circ, \omega}, \forall u \in \mathbb{P}_M, \forall x \in (-1, 1),$$

$$\langle (x + 1)u, K_M(-1, .) \rangle_{\circ, \omega} = \langle (1 - x)u, K_M(1, .) \rangle_{\circ, \omega} = 0, \forall u \in \mathbb{P}_{M-1}. \quad 9$$

فرض کنیم  $\mathbb{P}_M$  مجموعه‌ی چند جمله‌ای‌های چبیشف متعلق به  $\{T_M\}_{M \geq 0}$  با درجه  $M$  باشد. در این صورت، در نظر می‌گیریم:

$$q_M(x) = \frac{T_{M+1}(x) + c_M T_{M+1}(x) + d_M T_M(x)}{(1 - x)(x + 1)} \in \mathbb{P}_M,$$

که در آن

$$c_M = -\frac{[T_{M+1}(1)T_M(-1) + T_{M+1}(-1)T_M(1)]}{[T_M(-1)T_{M+1}(1) - T_M(1)T_{M+1}(-1)]}, \quad d_M = -\frac{[T_{M+1}(T_{M+1}(-1)) + T_{M+1}(-1)T_{M+1}(1)]}{[T_M(1)T_{M+1}(-1) - T_M(-1)T_{M+1}(1)]}.$$

بنابراین،  $\{q_M\}_{M \geq 0}$  دنباله‌ای از چند جمله‌ای‌های متعامد  $(L^{\frac{1}{2}}((-1, 1), d\tilde{\mu}(x)))$  با ضرب داخلی زیر است:

$$\langle u, v \rangle_{\circ, \tilde{\omega}} = \int_{-1}^1 u(x)v(x)d\tilde{\mu}(x), \quad d\tilde{\mu}(x) = \tilde{\omega}(x)dx = (1 - x)(x + 1)(1 - x^2)^{-\frac{1}{2}}dx.$$

در نشان داده شده است که

$$K_{M-1}(x, y) = \sum_{m=0}^{M-1} \frac{q_m(x)q_m(y)}{\|q_m\|_{\circ, \tilde{\omega}}^2} = \frac{k_M(q_{M-1}(x)q_{M-1}(y) - q_{M-1}(x)q_{M-1}(y))}{k_{M+1}\|q_{M-1}\|_{\circ, \tilde{\omega}}^2(x - y)}, \quad x \neq y,$$

که در آن  $(x + 1)(1 - x)q_{M-1}(x) \leq 0$  و  $K_{M-1}(., y) \in \mathbb{P}_{M-2}$  است. هم‌چنین داریم:

$$K_{M-1}(x, x) = \sum_{m=0}^{M-1} \frac{q_m(x)}{\|q_m\|_{\circ, \tilde{\omega}}^2} = \frac{k_M(q'_{M-1}(x)q_{M-1}(x) - q'_{M-1}(x)q_{M-1}(x))}{k_{M+1}\|q_{M-1}\|_{\circ, \tilde{\omega}}^2}.$$

فرض کنید  $\{z_j\}_{j=1}^{M-1}$  شامل صفرهای ساده  $q_{M-1}$  در  $(-1, 1)$  است، آن‌گاه داریم:

$$K_{M-1}(z_i, z_j) = \sum_{m=0}^{M-1} \frac{q_m(z_i)q_m(z_j)}{\|q_m\|_{\circ, \tilde{\omega}}^2} = \begin{cases} 0, & i \neq j, \\ \tilde{\omega}_i^{-1} = \frac{k_M q'_{M-1}(z_i)q_{M-1}(z_i)}{k_{M+1}\|q_{M-1}\|_{\circ, \tilde{\omega}}^2}, & i = j. \end{cases}$$

فرض کنید  $\{z_j\}_{j=1}^M$ ، صفرهای ساده از  $(-1, 1)$  باشد. با توجه به [۲۴]، مجموعه‌ای منحصر به‌فرد از وزن‌های مربعی  $\{\omega_j\}_{j=1}^M$  وجود دارد به‌طوری که

$$\int_{-1}^1 u(x) \frac{1}{\sqrt{1 - x^2}} dx = \sum_{j=1}^M \omega_j u(z_j), \quad \forall u \in \mathbb{P}_{M-1}, z_j = -\cos \frac{\pi j}{M}, j = 0, \dots, M,$$

که در آن  $\omega_j = \frac{\pi}{\sigma_j M}, j = 0, 1, \dots, M$ ,

$$\sigma_j = \begin{cases} 2, & j = 0, M, \\ 1, & 1 \leq j \leq M - 1. \end{cases}$$

تقریب برای  $u_M^k$  را می‌توان بر اساس پایه‌های زیر محاسبه کرد:

$$\mathbb{P}_M = \text{span}\{\phi_j(x), j = 0, 1, \dots, M\}, \quad \phi_j(x) = \frac{(x+1)(1-x)q_{M-1}(x)}{((x+1)(1-x)q_{M-1}(x))'|_{x=z_j}(x-z_j)},$$

که در آن

$$u^k(x) \approx u_M^k(x) := \Phi(x)\{\mathbf{v}\}^k, \quad \Phi(x) = (\phi_0(x), \phi_1(x), \dots, \phi_M(x)),$$

۹

$$\{\mathbf{v}\}^k = (v_0^k, v_1^k, \dots, v_M^k)^T.$$

همچنین،  $(\frac{d^m}{dx^m}\Phi(x)$  را می‌توانیم به شکل ماتریسی زیر نشان دهیم:

$$\frac{d^m}{dx^m}\Phi(x) = \Phi(x)\mathbf{D}^m, \quad m \geq 1,$$

که در آن

$$\mathbf{D} = [\mathbf{D}_{ij}] = [\phi_j'(z_i)], \quad i, j = 0, 1, \dots, N, \quad \mathbf{D}^m = \underbrace{\mathbf{D}\mathbf{D}\cdots\mathbf{D}}_m.$$

مولفه‌های ماتریس مشتق‌پذیر مرتبه‌ی اول  $\mathbf{D}$  به صورت زیر مشخص می‌شوند [۲۷]:

$$\mathbf{D}_{ij} = \begin{cases} \frac{((x-a)(b-x)q_{M-1}(x))'|_{x=z_i}}{((x-a)(b-x)q_{M-1}(x))'|_{x=z_j}(z_i-z_j)}, & i \neq j, \\ \frac{((x-a)(b-x)q_{M-1}(x))''|_{x=z_i}}{\gamma((x-a)(b-x)q_{M-1}(x))''|_{x=z_i}}, & i = j. \end{cases} = \begin{cases} -\frac{\gamma M^r + 1}{\sigma_j}, & i = j = 0, \\ \frac{\sigma_i(-1)^{i+j}}{\sigma_j z_i - z_j}, & i \neq j, 0 \leq i, j \leq M, \\ -\frac{z_i}{\gamma(1-z_k^r)}, & i = j, 1 \leq i, j \leq M - 1, \\ \frac{\gamma M^r + 1}{\sigma_j}, & i = j = M. \end{cases}$$

آن‌گاه، عبارت  $\partial_x^m u_M^k$  را به صورت زیر تقریب می‌زنیم:

$$\partial_x^m u_M^k(x) := \Phi(x)\mathbf{D}^m\{\mathbf{v}\}^k, \quad m \geq 1.$$

بنابراین داریم:

$$\frac{d^m}{dx^m} u_M^k(z_i) = \sum_{j=0}^N (\mathbf{D}^m)_{ij} v_j^k, \quad m \geq 1, \quad 1 \leq i \leq N - 1.$$

ضرب داخلی گستته را به صورت زیر تعریف می‌کیم:

$$\langle u, v \rangle_{M,\omega} = \sum_{j=0}^N \omega_j u(z_j)v(z_j),$$

که دارای نرم القاء شده است و در شرط زیر صدق می‌کند:

$$\langle u, v \rangle_{M,\omega} = \langle u, v \rangle_{0,\omega}, \quad \forall u, v : u.v \in \mathbb{P}_{N-1}.$$

فضای سوبولف وزن دار  $H^r((-1, 1), d\mu(x))$  را به صورت زیر در نظر می‌گیریم:

$$H^r((-1, 1), d\mu(x)) = \{u \in L^r((-1, 1), d\mu(x)) : \|u\|_{r,\omega} = (\sum_{j=0}^r \|\partial_x^j u\|_{0,\omega}^r)^{\frac{1}{r}} < \infty\}.$$

علاوه براین، قرار می‌دهیم :

$$H_0^1((-1, 1), d\mu(x)) = \{u \in L^r((-1, 1), d\mu(x)) : \partial_x u \in L^r((-1, 1), d\mu(x)), u(-1) = u(1) = 0\}.$$

همچنین، فرم دو خطی را به صورت زیر می‌سازیم:

$$a_\omega \langle u, v \rangle = \langle \partial_x u, \omega^{-1} \partial_x(v\omega) \rangle_{\circ, \omega} = \int_{-\infty}^{\infty} \partial_x u \partial_x(v\omega) dx, \quad \forall u, v \in H_{\circ}^1((-1, 1), d\mu(x)).$$

اکنون، جواب عددی مسئله‌ی نیمه‌گرسسته (۳.۲) را در فضای  $\mathbb{P}_M$  به دست می‌آوریم.  
قرار می‌دهیم  $u_M^{k+1} \in \mathbb{P}_M$  ( $k = 0 : M - 1$ ) و  $u_M^0 = I_M^c u^0$  را به گونه‌ای پیدا می‌کنیم که:

$$\begin{cases} \sum_{j=1}^n d_j \alpha_j^{-1} \Delta t^{-1} D_{\alpha_j, k+1}^{k+1} u_M^{k+1}(z_i) - \partial_x^\gamma u_M^{k+1}(z_i) \\ = V^{\alpha_1, \dots, \alpha_n}(u^0(z_i), \dots, u^k(z_i)) + f^{k+1}(z_i), \quad 1 \leq i \leq M - 1, k \geq 0, \\ u_M^{k+1}(z_i) = 0, \quad i = 0, M, \quad -1 \leq k \leq M - 1, \end{cases} \quad (4.2)$$

که در آن

$$\begin{aligned} V^{\alpha_1, \dots, \alpha_n}(u^0(z_i), \dots, u^k(z_i)) &= \sum_{j=1}^n d_j \alpha_j^{-1} \Delta t^{-1} W^{\alpha_j}(u^0(z_i), \dots, u^k(z_i)), \\ W^{\alpha_j}(u^0(z_i), \dots, u^k(z_i)) &= D_{\alpha_j, 1}^{k+1} u^0(z_i) + \sum_{i=1}^k (D_{\alpha_j, i+1}^{k+1} - D_{\alpha_j, i}^{k+1}) u^i(z_i), \end{aligned}$$

عملگر درون‌بایی مرتبط با  $I_M^c : C[a, b] \rightarrow \mathbb{P}_M$  و  $(I_M^c u)(z_i) = u(z_i)$ ,  $i = 0, 1, 2, \dots, M$ .

اگر قرار دهیم  $\{u \in \mathbb{P}_M, u(-1) = u(1) = 0\}$  می‌توانیم طرح (۴.۲) را به صورت زیر بازنویسی کنیم:  
A(L-I): تقریب طیفی چیزش  $u_M^{k+1} \in \mathbb{P}_M$  ( $k = 0 : M - 1$ ) برای هر  $v_M \in \mathbb{P}_M^0$  داریم:

$$\begin{aligned} \sum_{j=1}^n d_j \alpha_j^{-1} \Delta t^{-1} D_{\alpha_j, k+1}^{k+1} \langle u_M^{k+1}, v_M \rangle_{M, \omega} + a_\omega \langle u_M^{k+1}, v_M \rangle &= \langle V^{\alpha_1, \dots, \alpha_n}(u_M^0, \dots, u_M^k), v_M \rangle_{M, \omega} \\ &+ \langle I_M^c f^{k+1}, v_M \rangle_{M, \omega}. \end{aligned} \quad (5.2)$$

اکنون، جواب تقریبی  $u_M^k$  را بر اساس پایه‌های  $\mathbb{P}_M = span\{\phi_j(x), j = 0, 1, \dots, M\}$  به صورت زیر محاسبه کنیم:

$$u^k(x) \approx u_M^k(x) := \Phi(x)\{\mathbf{v}\}^k.$$

بنابراین داریم:

$$\begin{cases} \sum_{s=0}^N \left[ \sum_{j=1}^n d_j \alpha_j^{-1} \Delta t^{-1} D_{\alpha_j, k+1}^{k+1} \delta_{is} - (\mathbf{D}^\gamma)_{is} \right] v_s^{k+1} = F^{k+1}(z_i), \quad 1 \leq i \leq M - 1, \\ \Phi(z_0)\{\mathbf{v}\}^{k+1} = \Phi(z_M)\{\mathbf{v}\}^{k+1} = 0. \end{cases} \quad (6.2)$$

که در آن

$$F^{k+1}(z_i) = V^{\alpha_1, \dots, \alpha_n}(u_M^0(z_i), \dots, u_M^k(z_i)) + f^{k+1}(z_i), \quad 1 \leq i \leq M - 1.$$

هرگاه

$$\begin{aligned} (\mathbf{B})_{is} &= \sum_{j=1}^n d_j \alpha_j^{-1} \Delta t^{-1} D_{\alpha_j, k+1}^{k+1} \delta_{is} - (\mathbf{D}^\gamma)_{is}, \quad 1 \leq i \leq M - 1, 0 \leq s \leq M, \\ (\mathbf{B})_{0s} &= \delta_{0s}, \quad (\mathbf{B})_{Ms} = \delta_{Ms}, \quad 0 \leq s \leq M, \\ \{\mathbf{c}\}^{k+1} &= (0, F^{k+1}(z_1), F^{k+1}(z_2), \dots, F^{k+1}(z_{M-1}), 0)^T, \\ \{\mathbf{v}\}^{k+1} &= (v_0^{k+1}, v_1^{k+1}, \dots, v_M^{k+1})^T, \end{aligned}$$

آن‌گاه، دستگاه خطی (۶.۲) به صورت زیر نوشته می‌شود:

$$\mathbf{B}\{\mathbf{v}\}^{k+1} = \{\mathbf{c}\}^{k+1}, \quad k = 0 : M - 1.$$

### ۲.۲.۲ آنالیز پایداری

لم ۴.۲. برای هر  $u \in \mathbb{P}_M$  داریم:

$$\|u\|_{\circ, \omega} \leq \|u\|_{M, \omega} \leq \sqrt{2} \|u\|_{\circ, \omega}.$$

لم ۵.۲. اگر  $u \in H_\circ^1((-1, 1), d\mu(x))$  باشد آن‌گاه داریم:

$$\|u\|_{\circ, \omega} \leq C \|\partial_x u\|_{\circ, \omega},$$

که در آن  $C$  ثابت مثبت مستقل از  $u$  است.

لم ۶.۲. برای هر  $u \in H_\circ^1((-1, 1), d\mu(x))$  داریم:

$$|a_\omega \langle u, u \rangle| \leq C \|\partial_x u\|_{\circ, \omega}^{\circ}, \quad a_\omega \langle u, u \rangle \geq \frac{1}{4} \|\partial_x u\|_{\circ, \omega}^{\circ},$$

که در آن  $C$  ثابت مثبت مستقل از  $u$  است.

لم ۷.۲. (نامساوی گسسته گرونوالد) فرض کنیم  $\{f_n\}_{n>0}$  یک دنباله نامنفی و  $C$  یک ثابت نامنفی باشد. اگر

$$f_n \leq C + \sum_{0 \leq k < n} g_k f_k, \quad n \geq 0,$$

آن‌گاه

$$f_n \leq C \prod_{0 \leq k < n} (1 + g_k) \leq C e^{\sum_{0 \leq k < n} g_k}, \quad n \geq 0.$$

لم ۸.۲. فرض کنید  $u_M^{k+1} \in \mathbb{P}_M^\circ$ ,  $k = 0, 1, \dots, M-1$  جواب (۴.۲) باشد. آن‌گاه نامساوی زیر برقرار است:

$$\|u_M^{k+1}\|_{M, \omega}^{\circ} + \Delta t \|\partial_x u_M^{k+1}\|_{M, \omega}^{\circ} \leq C_* \|u_M^{\circ}\|_{M, \omega}^{\circ} + C_{**}$$

که در آن

$$C_* = \frac{K_*}{\varrho} \sum_{j=1}^n d_j \alpha_j^{-1} D_{\alpha_j, 1}^{k+1}, \quad C_{**} = \frac{K_* \Delta t^{\circ} \|I_M^c f^{k+1}\|_{M, \omega}}{\varrho \sum_{j=1}^n d_j \alpha_j^{-1} D_{\alpha_j, k+1}^{k+1}},$$

۹

$$K_* = \exp \left( \frac{1}{\varrho} \sum_{j=1}^n d_j \alpha_j^{-1} (D_{\alpha_j, k+1}^{k+1} - D_{\alpha_j, k}^{k+1}) \right).$$

اثبات. در (۵.۲) قرار می‌دهیم، لذا خواهیم داشت:

$$\sum_{j=1}^n d_j \alpha_j^{-1} \Delta t^{-1} D_{\alpha_j, k+1}^{k+1} \langle u_M^{k+1}, u_M^{k+1} \rangle_{M, \omega} + a_\omega \langle u_M^{k+1}, u_M^{k+1} \rangle_{M, \omega} = \langle V^{\alpha_1, \dots, \alpha_n} (u_M^{\circ}, \dots, u_M^k), u_M^{k+1} \rangle_{M, \omega} + \langle I_M^c f^{k+1}, u_M^{k+1} \rangle_{M, \omega} \quad (۷.۲)$$

که در آن

$$\begin{aligned} \langle V^{\alpha_1, \dots, \alpha_n} (u_M^{\circ}, \dots, u_M^k), u_M^{k+1} \rangle_{M, \omega} &= \sum_{j=1}^n d_j \alpha_j^{-1} \Delta t^{-1} D_{\alpha_j, 1}^{k+1} \langle u_M^{\circ}, u_M^{k+1} \rangle_{M, \omega} \\ &+ \sum_{j=1}^n d_j \alpha_j^{-1} \Delta t^{-1} \sum_{i=1}^k (D_{\alpha_j, i+1}^{k+1} - D_{\alpha_j, i}^{k+1}) \langle u_M^i, u_M^{k+1} \rangle_{M, \omega}. \end{aligned}$$

با استفاده از نامساوی  $AB \leq \frac{1}{\theta} A^\gamma + \frac{\theta^\gamma}{\gamma} B^\gamma$ ,  $\forall \theta \neq 0$ :

$$\begin{aligned} \langle V^{\alpha_1, \dots, \alpha_n}(u_M^*, \dots, u_M^k), u_M^{k+1} \rangle_{M, \omega} &\leq \sum_{j=1}^n d_j \alpha_j^{-1} \Delta t^{-1} D_{\alpha_j, 1}^{k+1} \left( \|u_M^*\|_{M, \omega}^\gamma + \frac{1}{\gamma} \|u_M^{k+1}\|_{M, \omega}^\gamma \right) \\ &+ \sum_{j=1}^n d_j \alpha_j^{-1} \Delta t^{-1} \sum_{i=1}^k (D_{\alpha_j, i+1}^{k+1} - D_{\alpha_j, i}^{k+1}) \left( \|u_M^i\|_{M, \omega}^\gamma + \frac{1}{\gamma} \|u_M^{k+1}\|_{M, \omega}^\gamma \right) \leq \sum_{j=1}^n d_j \alpha_j^{-1} \Delta t^{-1} D_{\alpha_j, 1}^{k+1} \|u_M^*\|_{M, \omega}^\gamma \\ &+ \frac{\sum_{j=1}^n d_j \alpha_j^{-1} \Delta t^{-1} D_{\alpha_j, 1}^{k+1}}{\gamma} \|u_M^{k+1}\|_{M, \omega}^\gamma + \sum_{j=1}^n d_j \alpha_j^{-1} \Delta t^{-1} \sum_{i=1}^k (D_{\alpha_j, i+1}^{k+1} - D_{\alpha_j, i}^{k+1}) \|u_M^i\|_{M, \omega}^\gamma \\ &+ \frac{\sum_{j=1}^n d_j \alpha_j^{-1} \Delta t^{-1} (D_{\alpha_j, k+1}^{k+1} - D_{\alpha_j, 1}^{k+1})}{\gamma} \|u_M^{k+1}\|_{M, \omega}^\gamma = \sum_{j=1}^n d_j \alpha_j^{-1} \Delta t^{-1} D_{\alpha_j, 1}^{k+1} \|u_M^*\|_{M, \omega}^\gamma \\ &+ \sum_{j=1}^n d_j \alpha_j^{-1} \Delta t^{-1} \sum_{i=1}^k (D_{\alpha_j, i+1}^{k+1} - D_{\alpha_j, i}^{k+1}) \|u_M^i\|_{M, \omega}^\gamma + \frac{\sum_{j=1}^n d_j \alpha_j^{-1} \Delta t^{-1} D_{\alpha_j, k+1}^{k+1}}{\gamma} \|u_M^{k+1}\|_{M, \omega}^\gamma, \end{aligned}$$

با به کار بردن لم ۹.۲ داریم:

$$\begin{aligned} \sum_{j=1}^n d_j \alpha_j^{-1} \Delta t^{-1} D_{\alpha_j, k+1}^{k+1} \|u_M^{k+1}\|_{M, \omega}^\gamma + \frac{1}{\gamma} \|\partial_x u_M^{k+1}\|_{\circ, \omega}^\gamma &\leq \langle I_M^c f^{k+1}, v_M \rangle_{M, \omega} \\ &+ \sum_{j=1}^n d_j \alpha_j^{-1} \Delta t^{-1} D_{\alpha_j, 1}^{k+1} \|u_M^*\|_{M, \omega}^\gamma + \sum_{j=1}^n d_j \alpha_j^{-1} \Delta t^{-1} \sum_{i=1}^k (D_{\alpha_j, i+1}^{k+1} - D_{\alpha_j, i}^{k+1}) \|u_M^i\|_{M, \omega}^\gamma \\ &+ \frac{\sum_{j=1}^n d_j \alpha_j^{-1} \Delta t^{-1} D_{\alpha_j, k+1}^{k+1}}{\gamma} \|u_M^{k+1}\|_{M, \omega}^\gamma. \end{aligned} \quad (8.2)$$

می دانیم که

$$\langle I_M^c f^{k+1}, v_M \rangle_{M, \omega} \leq \frac{\|I_M^c f^{k+1}\|_{M, \omega}}{\sum_{j=1}^n d_j \alpha_j^{-1} \Delta t^{-1} D_{\alpha_j, k+1}^{k+1}} + \frac{\sum_{j=1}^n d_j \alpha_j^{-1} \Delta t^{-1} D_{\alpha_j, k+1}^{k+1}}{\gamma} \|u_M^{k+1}\|_{M, \omega}^\gamma. \quad (9.2)$$

با استفاده از (۱۰.۲) و (۹.۲)، به دست می آوریم:

$$\begin{aligned} \frac{\sum_{j=1}^n d_j \alpha_j^{-1} \Delta t^{-1} D_{\alpha_j, k+1}^{k+1}}{\gamma} \|u_M^{k+1}\|_{M, \omega}^\gamma + \frac{1}{\gamma} \|\partial_x u_M^{k+1}\|_{\circ, \omega}^\gamma &\leq \sum_{j=1}^n d_j \alpha_j^{-1} \Delta t^{-1} D_{\alpha_j, 1}^{k+1} \|u_M^*\|_{M, \omega}^\gamma \\ &+ \frac{\|I_M^c f^{k+1}\|_{M, \omega}}{\sum_{j=1}^n d_j \alpha_j^{-1} \Delta t^{-1} D_{\alpha_j, k+1}^{k+1}} + \sum_{j=1}^n d_j \alpha_j^{-1} \Delta t^{-1} \sum_{i=1}^k (D_{\alpha_j, i+1}^{k+1} - D_{\alpha_j, i}^{k+1}) \|u_M^i\|_{M, \omega}^\gamma. \end{aligned}$$

با به کار بردن لم ۴.۲ داریم:

$$\begin{aligned} \frac{\sum_{j=1}^n d_j \alpha_j^{-1} \Delta t^{-1} D_{\alpha_j, k+1}^{k+1}}{\gamma} \|u_M^{k+1}\|_{M, \omega}^\gamma &+ \frac{1}{\gamma} \|\partial_x u_M^{k+1}\|_{M, \omega}^\gamma \leq \sum_{j=1}^n d_j \alpha_j^{-1} \Delta t^{-1} D_{\alpha_j, 1}^{k+1} \|u_M^*\|_{M, \omega}^\gamma + \frac{\|I_M^c f^{k+1}\|_{M, \omega}}{\sum_{j=1}^n d_j \alpha_j^{-1} \Delta t^{-1} D_{\alpha_j, k+1}^{k+1}} \\ &+ \sum_{j=1}^n d_j \alpha_j^{-1} \Delta t^{-1} \sum_{i=1}^k (D_{\alpha_j, i+1}^{k+1} - D_{\alpha_j, i}^{k+1}) \|u_M^i\|_{M, \omega}^\gamma. \end{aligned}$$

بنابراین داریم

$$\begin{aligned} \frac{\sum_{j=1}^n d_j \alpha_j^{-1} D_{\alpha_j, k+1}^{k+1}}{\gamma} \|u_M^{k+1}\|_{M, \omega}^\gamma + \frac{\Delta t}{\Lambda} \|\partial_x u_M^{k+1}\|_{M, \omega}^\gamma &\leq \sum_{j=1}^n d_j \alpha_j^{-1} D_{\alpha_j, 1}^{k+1} \|u_M^*\|_{M, \omega}^\gamma \\ &+ \frac{\Delta t^\gamma \|I_M^c f^{k+1}\|_{M, \omega}}{\sum_{j=1}^n d_j \alpha_j^{-1} D_{\alpha_j, k+1}^{k+1}} + \sum_{j=1}^n d_j \alpha_j^{-1} \sum_{i=1}^k (D_{\alpha_j, i+1}^{k+1} - D_{\alpha_j, i}^{k+1}) (\|u_M^i\|_{M, \omega}^\gamma + \Delta t \|\partial_x u_M^{k+1}\|_{M, \omega}^\gamma). \end{aligned}$$

قرار می‌دهیم:  $\varrho = \min\left\{\frac{\sum_{j=1}^n d_j \alpha_j^{-1} D_{\alpha_j, k+1}^{k+1}}{2}, \frac{1}{\lambda}\right\}$ .

$$\begin{aligned} \|u_M^{k+1}\|_{M,\omega}^r + \Delta t \|\partial_x u_M^{k+1}\|_{M,\omega}^r &\leq \frac{1}{\varrho} \sum_{j=1}^n d_j \alpha_j^{-1} D_{\alpha_j, k+1}^{k+1} \|u_M^k\|_{M,\omega}^r + \frac{\Delta t^r \|I_M^c f^{k+1}\|_{M,\omega}}{\varrho \sum_{j=1}^n d_j \alpha_j^{-1} D_{\alpha_j, k+1}^{k+1}} \\ &+ \frac{1}{\varrho} \sum_{j=1}^n d_j \alpha_j^{-1} \sum_{i=1}^k (D_{\alpha_j, i+1}^{k+1} - D_{\alpha_j, i}^{k+1}) (\|u_M^i\|_{M,\omega}^r + \Delta t \|\partial_x u_M^{k+1}\|_{M,\omega}^r). \end{aligned}$$

با به کار بردن لم ۷.۲، نتیجه می‌گیریم:

$$\|u_M^{k+1}\|_{M,\omega}^r + \Delta t \|\partial_x u_M^{k+1}\|_{M,\omega}^r \leq C_* \|u_M^k\|_{M,\omega}^r + C_{**},$$

که در آن

$$C_* = \frac{K_*}{\varrho} \sum_{j=1}^n d_j \alpha_j^{-1} D_{\alpha_j, k+1}^{k+1}, \quad C_{**} = \frac{K_* \Delta t^r \|I_M^c f^{k+1}\|_{M,\omega}}{\varrho \sum_{j=1}^n d_j \alpha_j^{-1} D_{\alpha_j, k+1}^{k+1}},$$

۶

$$K_* = \exp \left( \frac{1}{\varrho} \sum_{j=1}^n d_j \alpha_j^{-1} (D_{\alpha_j, k+1}^{k+1} - D_{\alpha_j, k}^{k+1}) \right).$$

□

قضیه ۹.۲. فرض کنید ۱)  $u_M^{k+1} \in \mathbb{P}_M^\circ$ ،  $k = ۰, ۱, \dots, N-۱$  جواب طرح (۴.۲) باشد. آن‌گاه طرح (۴.۲) بدون قيدوشرط برای هر  $\Delta t > ۰$  پایدار است.

اثبات. فرض کنید ۱)  $\tilde{u}_M^{k+1} \in \mathbb{P}_M^\circ$ ،  $k = ۰, ۱, \dots, N-۱$  جواب تقریبی طرح (۴.۲) با شرط اولیه  $\tilde{u}_M^0$  باشد. با به کار بردن لم ۸.۲ به دست می‌آوریم:

$$\|u_M^{k+1} - \tilde{u}_M^{k+1}\|_{M,\omega}^r + \|\partial_x u_M^{k+1} - \partial_x \tilde{u}_M^{k+1}\|_{M,\omega}^r \leq C_* \|u_M^k - \tilde{u}_M^k\|_{M,\omega}^r.$$

بنابراین نامساوی زیر برقرار است:

$$\|u_M^{k+1} - \tilde{u}_M^{k+1}\|_{M,\omega}^r \leq C_* \|u_M^k - \tilde{u}_M^k\|_{M,\omega}^r.$$

□

در نتیجه اثبات قضیه ۹.۲ کامل می‌شود.

### ۳.۲.۲ آنالیز خطاب

لم ۱۰.۲. تخمین‌های زیر برقرارند:  $u \in H^r((-1, 1), d\mu(x))$  برای هر  $[۳۰-۲۸]$

$$\|u - I_M^c u\|_{s,\omega} \leq CM^{s-r} \|u\|_{r,\omega}, \quad r > \frac{1}{2}, \quad ۰ \leq s \leq r.$$

لم ۱۱.۲. فرض کنید  $\Pi_M$  عملگر تصویر و متعامد به صورت زیر باشد:

$$\Pi_M := L^r((-1, 1), d\mu(x)) \rightarrow \mathbb{P}_M, \quad \langle u - \Pi_M u, v \rangle_{r,\omega} = ۰, \quad \forall v \in \mathbb{P}_M,$$

آن‌گاه تقریب‌های زیر برقرارند:

$$\|u - \Pi_M u\|_{s,\omega} \leq CM^{\frac{r_s}{r} - r} \|u\|_{r,\omega}, \quad r \geq ۰, \quad ۰ \leq s \leq ۱,$$

که در آن  $C$  ثابت مثبت است.

لم ۱۲.۲. فرض کنید  $\Pi_M^{\circ, \circ}$  عملگر تصویر متعامد به صورت زیر باشد:

$$\Pi_M^{\circ, \circ} := H_\circ^r((-1, 1), d\mu(x)) \rightarrow \mathbb{P}_M^\circ, \quad a_\omega \langle \Pi_M^{\circ, \circ} u - u, v \rangle = ۰, \quad \forall v \in \mathbb{P}_M^\circ,$$

آن‌گاه تقریب‌های زیر برقرارند:

$$\|u - \Pi_M^{\circ, \circ} u\|_{s,\omega} \leq CM^{s-r} \|u\|_{r,\omega}, \quad r \geq ۱, \quad ۰ \leq s \leq ۱,$$

که در آن  $C$  ثابت مثبت است.

لم ۱۳.۲ برای هر  $\frac{1}{r}$  تخمین‌های زیر برقرارند:

$$|\langle E(u), v \rangle_{\circ, \omega}| = |\langle u, v \rangle_M - \langle u, v \rangle_{\circ, \omega}| \leq C \{ \|u - \Pi_{M-} u\|_{\circ, \omega} + \|u - I_M^c u\|_{\circ, \omega} \} \|v\|_{\circ, \omega}, \quad \forall v \in \mathbb{P}_M,$$

که در آن  $C$  ثابت مثبت است.

قضیه ۱۴.۲. فرض کنید  $\mathcal{U}$  جواب دقیق معادله انتشار کسری-زمانی چندجمله‌ای خطی باشد. اگر

$${}^\circ \partial_t^\alpha \mathcal{U} \in L^\infty((\circ, T]; H^r((-1, 1), d\mu(x))), \quad r \geq 1,$$

$$\mathcal{U} \in L^\infty((\circ, T]; H^r((-1, 1), d\mu(x))), \quad r \geq 1,$$

۹

آن‌گاه داریم:

$$\|\mathcal{U}^{k+1} - u_M^{k+1}\|_{\circ, \omega} \leq C_*(M^{-r} + \Delta t^r),$$

که در آن  $C_*$  ثابت مثبت است.

اثبات. با به کار بردن لم ۱۲.۲، به دست می‌آوریم:

$$\begin{aligned} \langle \mathcal{P}_{\alpha_1, \alpha_2, \dots, \alpha_n}(\bar{\partial}_t) \Pi_M^{\circ, \circ} \mathcal{U}^{k+1}, v_M \rangle_{M, \omega} + a_\omega \langle \Pi_M^{\circ, \circ} \mathcal{U}^{k+1}, v_M \rangle = & \langle \mathcal{P}_{\alpha_1, \alpha_2, \dots, \alpha_n}(\partial_t) \Pi_M^{\circ, \circ} \mathcal{U}^{k+1} - \mathcal{P}_{\alpha_1, \alpha_2, \dots, \alpha_n}(\partial_t) \mathcal{U}^{k+1}, v_M \rangle_{\circ, \omega} \\ & + \langle E(\mathcal{P}_{\alpha_1, \alpha_2, \dots, \alpha_n}(\partial_t) \Pi_M^{\circ, \circ} \mathcal{U}^{k+1}), v_M \rangle_{\circ, \omega} + \langle f^{k+1}, v_M \rangle_{\circ, \omega} + \langle R^{k+1}, v_M \rangle_{\circ, \omega}, \quad \forall v_M \in \mathbb{P}_M^{\circ}, \end{aligned} \quad (10.2)$$

که در آن خطاهای  $R^{k+1}$  در شرط زیر صدق می‌کنند:

$$\|R^{k+1}\|_{\circ, \omega} \leq C_1 \Delta t^r.$$

با استفاده از (۱۰.۲) از (۵.۲) داریم:

$$\begin{aligned} \sum_{j=1}^n d_j \alpha_j^{-1} \Delta t^{-1} D_{\alpha_j, k+1}^{k+1} \langle e_M^{k+1}, v_M \rangle_{M, \omega} + a_\omega \langle e_M^{k+1}, v_M \rangle = & \sum_{j=1}^n d_j \alpha_j^{-1} \Delta t^{-1} \sum_{i=1}^k (D_{\alpha_j, i+1}^{k+1} - D_{\alpha_j, i}^{k+1}) \langle e_M^i, v_M \rangle_{M, \omega} \\ & + \sum_{j=1}^n d_j \alpha_j^{-1} \Delta t^{-1} D_{\alpha_j, 1}^{k+1} \langle e_M^1, v_M \rangle_{M, \omega} + \langle \mathcal{P}_{\alpha_1, \alpha_2, \dots, \alpha_n}(\partial_t) \Pi_M^{\circ, \circ} \mathcal{U}^{k+1} - \mathcal{P}_{\alpha_1, \alpha_2, \dots, \alpha_n}(\partial_t) \mathcal{U}^{k+1}, v_M \rangle_{\circ, \omega} \\ & + \langle E(\mathcal{P}_{\alpha_1, \alpha_2, \dots, \alpha_n}(\partial_t) \Pi_M^{\circ, \circ} \mathcal{U}^{k+1}), v_M \rangle_{\circ, \omega} + \langle f^{k+1}, v_M \rangle_{\circ, \omega} - \langle I_M^c f^{k+1}, v_M \rangle_{M, \omega} + \langle R^{k+1}, v_M \rangle_{\circ, \omega}, \end{aligned} \quad (11.2)$$

که در آن

$$e_M^{k+1} = \Pi_M^{\circ, \circ} \mathcal{U}^{k+1} - u_M^{k+1}.$$

قرار می‌دهیم  $v_M = e_M^{k+1}$ . اکنون با استفاده از لمهای ۶.۲ و ۱۱.۲، نامساوی‌های زیر را به دست می‌آوریم:

$$\begin{aligned} \sum_{j=1}^n d_j \alpha_j^{-1} \Delta t^{-1} D_{\alpha_j, k+1}^{k+1} \|e_M^{k+1}\|_{M, \omega} + \frac{1}{4} \|\partial_x e_M^{k+1}\|_{\circ, \omega}^r \leq & 3 \sum_{j=1}^n d_j \alpha_j^{-1} \Delta t^{-1} \sum_{i=1}^k (D_{\alpha_j, i+1}^{k+1} - D_{\alpha_j, i}^{k+1}) \|e_M^i\|_{M, \omega}^r \\ & + \frac{\sum_{j=1}^n d_j \alpha_j^{-1} \Delta t^{-1} (D_{\alpha_j, k+1}^{k+1} - D_{\alpha_j, k}^{k+1})}{12} \|e_M^{k+1}\|_{M, \omega}^r + \sum_{j=1}^n d_j \alpha_j^{-1} \Delta t^{-1} D_{\alpha_j, 1}^{k+1} \langle e_M^1, e_M^{k+1} \rangle_{M, \omega} \\ & + \langle \mathcal{P}_{\alpha_1, \alpha_2, \dots, \alpha_n}(\partial_t) \Pi_M^{\circ, \circ} \mathcal{U}^{k+1} - \mathcal{P}_{\alpha_1, \alpha_2, \dots, \alpha_n}(\partial_t) \mathcal{U}^{k+1}, e_M^{k+1} \rangle_{\circ, \omega} + \langle E(\mathcal{P}_{\alpha_1, \alpha_2, \dots, \alpha_n}(\partial_t) \Pi_M^{\circ, \circ} \mathcal{U}^{k+1}), e_M^{k+1} \rangle_{\circ, \omega} \\ & + \langle f^{k+1}, e_M^{k+1} \rangle_{\circ, \omega} - \langle I_M^c f^{k+1}, e_M^{k+1} \rangle_{M, \omega} + \langle R^{k+1}, e_M^{k+1} \rangle_{\circ, \omega}. \end{aligned} \quad (12.2)$$

با به کار بردن لمهای ۱۲.۲ و ۱۳.۲ داریم:

$$\begin{aligned} |\sum_{j=1}^n d_j \alpha_j^{-1} \Delta t^{-1} D_{\alpha_j, 1}^{k+1} \langle e_M^1, e_M^{k+1} \rangle_{M, \omega}| \leq & \sum_{j=1}^n d_j \alpha_j^{-1} \Delta t^{-1} D_{\alpha_j, k+1}^{k+1} C_1^r M^{-r} + \frac{\sum_{j=1}^n d_j \alpha_j^{-1} \Delta t^{-1} D_{\alpha_j, k+1}^{k+1}}{12} \|e_M^{k+1}\|_{M, \omega}^r, \\ |\langle \mathcal{P}_{\alpha_1, \alpha_2, \dots, \alpha_n}(\partial_t) \Pi_M^{\circ, \circ} \mathcal{U}^{k+1} - \mathcal{P}_{\alpha_1, \alpha_2, \dots, \alpha_n}(\partial_t) \mathcal{U}^{k+1}, e_M^{k+1} \rangle_{\circ, \omega}| \leq & \frac{4 C_1^r M^{-r}}{\sum_{j=1}^n d_j \alpha_j^{-1} \Delta t^{-1} D_{\alpha_j, k+1}^{k+1}} \\ & + \frac{\sum_{j=1}^n d_j \alpha_j^{-1} \Delta t^{-1} D_{\alpha_j, k+1}^{k+1}}{12} \|e_M^{k+1}\|_{M, \omega}^r, \\ |\langle E(\mathcal{P}_{\alpha_1, \alpha_2, \dots, \alpha_n}(\partial_t) \Pi_M^{\circ, \circ} \mathcal{U}^{k+1}), e_M^{k+1} \rangle_{\circ, \omega}| \leq & \frac{4 C_1^r M^{-r}}{\sum_{j=1}^n d_j \alpha_j^{-1} \Delta t^{-1} D_{\alpha_j, k+1}^{k+1}} + \frac{\sum_{j=1}^n d_j \alpha_j^{-1} \Delta t^{-1} D_{\alpha_j, k+1}^{k+1}}{12} \|e_M^{k+1}\|_{M, \omega}^r, \\ |\langle f^{k+1}, e_M^{k+1} \rangle_{\circ, \omega} - \langle I_M^c f^{k+1}, e_M^{k+1} \rangle_{M, \omega}| \leq & \frac{4 C_1^r M^{-r}}{\sum_{j=1}^n d_j \alpha_j^{-1} \Delta t^{-1} D_{\alpha_j, k+1}^{k+1}} + \frac{\sum_{j=1}^n d_j \alpha_j^{-1} \Delta t^{-1} D_{\alpha_j, k+1}^{k+1}}{12} \|e_M^{k+1}\|_{M, \omega}^r, \end{aligned}$$

$$|\langle R^{k+1}, e_M^{k+1} \rangle_{\circ, \omega}| \leq \frac{\gamma C_\zeta \Delta t^\zeta}{\sum_{j=1}^n d_j \alpha_j^{-1} \Delta t^{-1} D_{\alpha_j, k+1}^{k+1}} + \frac{\sum_{j=1}^n d_j \alpha_j^{-1} \Delta t^{-1} D_{\alpha_j, k+1}^{k+1}}{12} \|e_M^{k+1}\|_{M, \omega}^*,$$

و بنابراین داریم

$$\begin{aligned} & \frac{\sum_{j=1}^n d_j \alpha_j^{-1} D_{\alpha_j, k+1}^{k+1}}{\gamma} \|e_M^{k+1}\|_{M, \omega}^* + \frac{\Delta t}{\lambda} \|\partial_x e_M^{k+1}\|_{M, \omega}^* \leq \gamma \sum_{j=1}^n d_j \alpha_j^{-1} \sum_{i=1}^k (D_{\alpha_j, i+1}^{k+1} - D_{\alpha_j, i}^{k+1}) (\|e_M^i\|_{M, \omega}^* + \Delta t \|\partial_x e_M^{k+1}\|_{M, \omega}^*) \\ & + \gamma \sum_{j=1}^n d_j \alpha_j^{-1} D_{\alpha_j, k+1}^{k+1} C_\zeta^\zeta M^{-\zeta r} + \frac{\gamma (C_\zeta^\zeta + C_\zeta^\zeta + C_\delta^\zeta) M^{-\zeta r}}{\sum_{j=1}^n d_j \alpha_j^{-1} D_{\alpha_j, k+1}^{k+1}} + \frac{\gamma C_\zeta \Delta t^\zeta}{\sum_{j=1}^n d_j \alpha_j^{-1} \Delta t^{-1} D_{\alpha_j, k+1}^{k+1}}. \end{aligned}$$

قرار می‌دهیم  $\varrho = \min \left\{ \frac{\sum_{j=1}^n d_j \alpha_j^{-1} D_{\alpha_j, k+1}^{k+1}}{\gamma}, \frac{1}{\lambda} \right\}$ , لذا داریم:

$$\begin{aligned} & \|e_M^{k+1}\|_{M, \omega}^* + \Delta t \|\partial_x e_M^{k+1}\|_{M, \omega}^* \leq \gamma \varrho^{-1} \sum_{j=1}^n d_j \alpha_j^{-1} \sum_{i=1}^k (D_{\alpha_j, i+1}^{k+1} - D_{\alpha_j, i}^{k+1}) (\|e_M^i\|_{M, \omega}^* + \Delta t \|\partial_x e_M^{k+1}\|_{M, \omega}^*) \\ & + \gamma \varrho^{-1} \sum_{j=1}^n d_j \alpha_j^{-1} D_{\alpha_j, k+1}^{k+1} C_\zeta^\zeta M^{-\zeta r} + \frac{\gamma \varrho^{-1} (C_\zeta^\zeta + C_\zeta^\zeta + C_\delta^\zeta) M^{-\zeta r}}{\sum_{j=1}^n d_j \alpha_j^{-1} D_{\alpha_j, k+1}^{k+1}} + \frac{\gamma \varrho^{-1} C_\zeta \Delta t^\zeta}{\sum_{j=1}^n d_j \alpha_j^{-1} \Delta t^{-1} D_{\alpha_j, k+1}^{k+1}}. \end{aligned}$$

با به کار بردن لم ۷.۲ نتیجه می‌گیریم:

$$\|e_M^{k+1}\|_{M, \omega}^* \leq \|e_M^{k+1}\|_{M, \omega}^* + \Delta t \|\partial_x e_M^{k+1}\|_{M, \omega}^* \leq C(M^{-\zeta r} + \Delta t^\zeta), \quad (13.2)$$

با به کار بردن لمهای ۴.۲ و ۱۲.۲ به دست می‌آوریم:

$$\|\mathcal{U}^{k+1} - u_M^{k+1}\|_{\circ, \omega} \leq \|e_M^{k+1}\|_{\circ, \omega} + \|\Pi_M^{\circ, \circ} \mathcal{U}^{k+1} - \mathcal{U}^{k+1}\|_{\circ, \omega} \leq C_*(M^{-r} + \Delta t^\zeta),$$

□

که اثبات قضیه را کامل می‌کند.

### ۳.۲ حالت دوم: معادلات انتشار کسری زمانی چندجمله‌ای شبه خطی

با به کار بردن بسط تیلور داریم:

$$\begin{cases} Q(\mathcal{U}^\circ) = Q(\mathcal{U}^\circ) + Q'(\mathcal{U}^\circ) \partial_t \mathcal{U}(x, t_\tau) \Delta t, & k = \circ \\ Q(\mathcal{U}^{k+1}) = 2Q(\mathcal{U}^k) - Q(\mathcal{U}^{k-1}) + O(\Delta t^\zeta), & k \geq 1. \end{cases}$$

با جایگزین کردن  $\mathcal{U}^{k+1}(x)$  با جواب تقریبی  $(x)^k u^{k+1}$ , مسئله‌ی نیمه‌گستته زیر را برای معادلات انتشار کسری-زمانی چندجمله‌ای شبه خطی به دست می‌آوریم:

طرح QL-II: فرض کنید  $u^\circ = h(x)$ , اکنون  $u^\circ : M - 1$  را به گونه‌ای پیدا می‌کنیم به طوری که

$$\begin{cases} \sum_{j=1}^n d_j \alpha_j^{-1} \Delta t^{-1} D_{\alpha_j, k+1}^{k+1} u^{k+1}(x) - \partial_x^\zeta u^{k+1}(x) \\ = V^{\alpha_1, \dots, \alpha_n}(u^\circ, \dots, u^k) + \begin{cases} Q(u^\circ) + f^\circ(x), & k = \circ, \\ 2Q(u^k) - Q(u^{k-1}) + f^{k+1}(x), & k \geq 1, \end{cases} \\ u^{k+1}|_{x \in \partial\Omega} = 0, -1 \leq k \leq M - 1, \end{cases}$$

که در آن

$$V^{\alpha_1, \dots, \alpha_n}(u^\circ, \dots, u^k) = \sum_{j=1}^n d_j \alpha_j^{-1} \Delta t^{-1} W^{\alpha_j}(u^\circ, \dots, u^k),$$

$$W^{\alpha_j}(u^\circ, \dots, u^k) = D_{\alpha_j, 1}^{k+1} u^\circ + \sum_{i=1}^k (D_{\alpha_j, i+1}^{k+1} - D_{\alpha_j, i}^{k+1}) u^i.$$

اکنون تعریف می‌کنیم:

$$G^k = \begin{cases} Q(u_M^\circ) + f^\circ, & k = \circ, \\ 2Q(u_M^k) - Q(u_M^{k-1}) + f^{k+1}, & k \geq 1, \end{cases}$$

و یک جواب عددی برای مسئله‌ی نیمه‌گستته (۱۴.۲) در فضای  $\mathbb{P}_M^\circ$  به دست می‌آوریم.  
A(QL-II): تقریب طیفی چیشی (۱-۰ :  $N - 1$ ) را به گونه‌ای پیدا می‌کنیم که برای هر  $v_M \in \mathbb{P}_M^\circ$  داشته باشیم:

$$\sum_{j=1}^n d_j \alpha_j^{-1} \Delta t^{-1} D_{\alpha_j, k+1}^{k+1} \langle u_M^{k+1}, v_M \rangle_{M, \omega} + a_\omega \langle u_M^{k+1}, v_M \rangle = \langle V^{\alpha_1, \dots, \alpha_n}(u_M^*, \dots, u_M^k), v_M \rangle_{M, \omega} + \langle I_M^c G^k, v_M \rangle_{M, \omega}.$$

### ۳ توسعی به معادلات انتشار کسری-زمانی مرتبه‌ی توزیعی

اکنون، یک روش طیفی، برای معادلات انتشار کسری-زمانی مرتبه‌ی توزیعی ارائه می‌دهیم:

$$\begin{cases} D_t^{[\omega]} \mathcal{U}(x, t) = \partial_x^\nu \mathcal{U}(x, t) + Q(\mathcal{U}) + f(x, t), & (x, t) \in \Omega \times J, \\ \mathcal{U}(x, t)|_{t=0} = h(x), & x \in \bar{\Omega}, \\ \mathcal{U}(x, t)|_{x \in \partial\Omega} = 0, & t \in J, \end{cases} \quad (1.3)$$

که در آن  $(-\infty, 1] \times \bar{\Omega} \times J \rightarrow \mathbb{R}$ ،  $J = (0, T]$ ،  $\Omega = (-1, 1)$  در شرایط زیر صدق می‌کند:

• عدد ثابت  $c$  وجود دارد به‌طوری که  $|Q(\mathcal{U})| \leq c |\mathcal{U}|$

• عدد ثابت مثبت  $c$  وجود دارد به‌طوری که  $|Q'(\mathcal{U})| \leq c$

همچنین  $D_t^{[\omega]} \mathcal{U}$  نمایش مشتق کسری توزیعی  $\mathcal{U}$  با تابع وزن  $\omega$  به صورت زیر تعریف می‌شود:

$$D_t^{[\omega]} \mathcal{U}(x, t) = \int_{\nu_1}^{\nu_4} \omega(\alpha) {}_C^F \partial_t^\alpha \mathcal{U}(x, t) d\alpha, \quad 0 < \nu_1, \nu_4 < 1.$$

برای تابع وزن  $\omega : [0, 1] \rightarrow \mathbb{R}$  شرایط زیر را داریم:

$\alpha \in [0, 1]$  برای هر  $\omega(\alpha) > 0$  و  $\omega \in C(\Omega)$

$$\int_0^1 \omega(\alpha) d\alpha = c > 0.$$

علاوه براین، عدد ثابت  $1 < \bar{\alpha} \leq \omega(\alpha) < 0$  وجود دارد به‌طوری که برای هر  $\omega(\alpha) \neq 0$  و برای هر  $\alpha \in [0, \bar{\alpha}]$ .

اگر  $Q(\mathcal{U}) \neq 0$ ، آن‌گاه مسئله‌ی (۱.۳) شبیه-خطی است در غیر این صورت خطی است.

### ۱.۳ حالت اول: معادلات انتشار کسری-زمانی مرتبه‌ی توزیعی خطی

برای گستته‌سازی متغیر زمان، فرض کنید  $t_k := k\Delta t$ ،  $k = 0 : M$  یک افزار با فاصله‌های مساوی از  $[0, T]$  باشد که در آن  $\Delta t = \frac{T}{N}$ . ابتدا مشتق مرتبه‌ی توزیعی را با استفاده از فرمول‌های ذوزنقه‌ای مرکب (CT) و سیمپسون مرکب (CS) گستته می‌کنیم:

$$CT : \int_{\nu_1}^{\nu_4} \omega(\alpha) {}_C^F \partial_t^\alpha \mathcal{U}(x, t) d\alpha = \mathcal{P}_{\alpha_1, \alpha_4, \dots, \alpha_{m+1}}^I(\partial_t) \mathcal{U}(x, t) + \mathcal{E}_\alpha^I = \sum_{j=1}^{m+1} q_j {}_C^F \partial_t^{\alpha_j} \mathcal{U}(x, t) + \mathcal{E}_\alpha^I, \quad \mathcal{E}_\alpha^I = O(\Delta \alpha^\epsilon),$$

که در آن

$$q_j = \begin{cases} \frac{\Delta \alpha \omega(\alpha_j)}{\epsilon}, & j = 1, 2m+1, \\ \frac{\Delta \alpha \omega(\alpha_j)}{\epsilon}, & j = 2, 3, \dots, 2m, \end{cases}$$

و

$$CS : \int_{\nu_1}^{\nu_4} \omega(\alpha) {}_C^F \partial_t^\alpha \mathcal{U}(x, t) d\alpha = \mathcal{P}_{\alpha_1, \alpha_4, \dots, \alpha_{m+1}}^{II}(\partial_t) \mathcal{U}(x, t) + \mathcal{E}_\alpha^{II} = \sum_{j=1}^{m+1} r_j {}_C^F \partial_t^{\alpha_j} \mathcal{U}(x, t) + \mathcal{E}_\alpha^{II}, \quad \mathcal{E}_\alpha^{II} = O(\Delta \alpha^\epsilon),$$

که در آن

$$r_j = \begin{cases} \frac{\Delta \alpha \omega(\alpha_j)}{\epsilon}, & j = 1, 2m+1, \\ \frac{\epsilon \Delta \alpha \omega(\alpha_j)}{\epsilon}, & j = 2, 3, \dots, 2m, \\ \frac{\epsilon \Delta \alpha \omega(\alpha_j)}{\epsilon}, & j = 3, 4, \dots, 2m-1, \end{cases}$$

که در آن  $\Delta\alpha = \frac{\nu_1 - \nu_m}{m}$  و  $\alpha_j = \nu_1 + (j-1)\Delta\alpha$ ,  $j = 1, 2, \dots, m+1$  اکنون  $\mathcal{P}_{\alpha_1, \alpha_2, \dots, \alpha_{m+1}}^{II}(\partial_t)\mathcal{U}$  را با طرح‌های تفاضل متناهی زیر تقریب می‌زنیم:

$$\mathcal{P}_{\alpha_1, \alpha_2, \dots, \alpha_{m+1}}^I(\partial_t)\mathcal{U}^{k+1}(x) = \mathcal{P}_{\alpha_1, \alpha_2, \dots, \alpha_{m+1}}^I(\bar{\partial}_t)\mathcal{U}^{k+1}(x) + R_{\mathcal{U}}^{k+1, I}(x),$$

۶

$$\mathcal{P}_{\alpha_1, \alpha_2, \dots, \alpha_{m+1}}^{II}(\partial_t)\mathcal{U}^{k+1}(x) = \mathcal{P}_{\alpha_1, \alpha_2, \dots, \alpha_{m+1}}^{II}(\bar{\partial}_t)\mathcal{U}^{k+1}(x) + R_{\mathcal{U}}^{k+1, II}(x),$$

که در آن

$$\mathcal{P}_{\alpha_1, \alpha_2, \dots, \alpha_{m+1}}^I(\bar{\partial}_t)\mathcal{U}^{k+1}(x) = \sum_{j=1}^{m+1} q_j \alpha_j^{-1} \sum_{i=1}^{k+1} \mathcal{D}_{\alpha_j, i}^{k+1} \delta_t \mathcal{U}^{i-1},$$

۷

$$\mathcal{P}_{\alpha_1, \alpha_2, \dots, \alpha_{m+1}}^{II}(\bar{\partial}_t)\mathcal{U}^{k+1}(x) = \sum_{j=1}^{m+1} r_j \alpha_j^{-1} \sum_{i=1}^{k+1} \mathcal{D}_{\alpha_j, i}^{k+1} \delta_t \mathcal{U}^{i-1}.$$

که در آن، خطاب برشی  $R_{\mathcal{U}}^{k+1, II}(x)$  و  $R_{\mathcal{U}}^{k+1, I}(x)$  در شرایط زیر صدق می‌کنند:

$$R_{\mathcal{U}}^{k+1, I} = O(\Delta t^\epsilon), \quad R_{\mathcal{U}}^{k+1, II} = O(\Delta t^\epsilon).$$

آنگاه داریم:

$$\begin{aligned} D_t^{[\omega]}\mathcal{U}^{k+1}(x) &= \mathcal{P}_{\alpha_1, \alpha_2, \dots, \alpha_{m+1}}^I(\bar{\partial}_t)\mathcal{U}(x, t) + R_{\mathcal{U}}^{k+1, I} + \mathcal{E}_\alpha^I \\ &= \sum_{j=1}^{m+1} q_j \alpha_j^{-1} \sum_{i=1}^{k+1} \mathcal{D}_{\alpha_j, i}^{k+1} \delta_t \mathcal{U}^{i-1} \\ &\quad + O(\Delta\alpha^\epsilon + \Delta t^\epsilon) \end{aligned} \quad (2.3)$$

۸

$$\begin{aligned} D_t^{[\omega]}\mathcal{U}^{k+1}(x) &= \mathcal{P}_{\alpha_1, \alpha_2, \dots, \alpha_{m+1}}^{II}(\bar{\partial}_t)\mathcal{U}(x, t) + R_{\mathcal{U}}^{k+1, II} + \mathcal{E}_\alpha^{II} \\ &= \sum_{j=1}^{m+1} r_j \alpha_j^{-1} \sum_{i=1}^{k+1} \mathcal{D}_{\alpha_j, i}^{k+1} \delta_t \mathcal{U}^{i-1} \\ &\quad + O(\Delta\alpha^\epsilon + \Delta t^\epsilon) \end{aligned} \quad (3.3)$$

سرانجام، با حذف خطاب و جایگزین کردن  $\mathcal{U}^{k+1}$  با جواب تقریبی  $u^{k+1}$ ، مسئله نیمه-گسسته زیر را بدست می‌آوریم: طرح L-CT-I: فرض کنید  $u^\circ = h(x)$  داده شده است، اکنون  $u^{k+1}$  ( $k = 0 : M-1$ ) را طوری پیدا کنیم که

$$\begin{cases} \mathcal{P}_{\alpha_1, \dots, \alpha_{m+1}}^I(\bar{\partial}_t)u^{k+1} = \partial_x^\epsilon u^{k+1} + f^{k+1}, \quad x \in \bar{\Omega}, \quad 0 \leq k, \\ u^{k+1}|_{\partial\Omega} = \circ, \quad -1 \leq k \leq M-1. \end{cases}$$

یا

$$\begin{cases} \mathcal{L}^I u^{k+1} = \mathcal{F}^{I, k+1}, \quad x \in \bar{\Omega}, \quad 0 \leq k, \\ u^{k+1}|_{\partial\Omega} = \circ, \quad -1 \leq k \leq M-1, \end{cases} \quad (4.3)$$

که در آن

$$\mathcal{L}^I(*) = \left[ \sum_{j=1}^{m+1} q_j \alpha_j^{-1} \Delta t^{-1} D_{\alpha_j, k+1}^{k+1} - \partial_x^\epsilon \right](*), \quad \mathcal{F}^{I, k+1} = V^{I, \alpha_1, \dots, \alpha_{m+1}}(u^\circ, \dots, u^k) + f^{k+1},$$

که در آن

$$\begin{aligned} V^{I, \alpha_1, \dots, \alpha_{m+1}}(u^\circ, \dots, u^k) &= \sum_{j=1}^{m+1} q_j \alpha_j^{-1} \Delta t^{-1} W^{\alpha_j}(u^\circ, \dots, u^k), \\ W^{\alpha_j}(u^\circ, \dots, u^k) &= D_{\alpha_j, 1}^{k+1} u^\circ + \sum_{i=1}^k (D_{\alpha_j, i+1}^{k+1} - D_{\alpha_j, i}^{k+1}) u^i. \end{aligned}$$

طرح L-CS-I: فرض کنید  $u^\circ = h(x)$  داده شده است، اکنون  $(k = 0 : M - 1)$  را طوری پیدا کنیم که

$$\begin{cases} \mathcal{P}_{\alpha_1, \dots, \alpha_{m+1}}^{II}(\bar{\partial}_t)u^{k+1} = \partial_x^\alpha u^{k+1} + f^{k+1}, & x \in \bar{\Omega}, 0 \leq k, \\ u^{k+1}|_{\partial\Omega} = 0, & -1 \leq k \leq M - 1, \end{cases}$$

یا

$$\begin{cases} \mathcal{L}^{II}u^{k+1} = \mathcal{F}^{II,k+1}, & x \in \bar{\Omega}, 0 \leq k, \\ u^{k+1}|_{\partial\Omega} = 0, & -1 \leq k \leq M - 1, \end{cases} \quad (5.3)$$

که در آن

$$\mathcal{L}^{II}(* ) = [\sum_{j=1}^{m+1} r_j \alpha_j^{-1} \Delta t^{-1} D_{\alpha_j, k+1}^{k+1} - \partial_x^\alpha](* ), \quad \mathcal{F}^{II,k+1} = V^{II, \alpha_1, \dots, \alpha_{m+1}}(u^\circ, \dots, u^k) + f^{k+1}.$$

بنابراین

$$V^{II, \alpha_1, \dots, \alpha_{m+1}}(u^\circ, \dots, u^k) = \sum_{j=1}^{m+1} r_j \alpha_j^{-1} \Delta t^{-1} W^{\alpha_j}(u^\circ, \dots, u^k).$$

اکنون جواب عددی برای مسئله‌ی نیمه‌گسسته (۴.۳) و (۵.۳) در فضای  $\mathbb{P}_M$  به دست می‌آوریم: A(L-CT-I): تقریب طیفی چیزش  $(k = 0 : N - 1)$  را به گونه‌ای پیدا می‌کنیم که برای هر  $v_M \in \mathbb{P}_M$  داشته باشیم:

$$\sum_{j=1}^{m+1} q_j \alpha_j^{-1} \Delta t^{-1} D_{\alpha_j, k+1}^{k+1} \langle u_M^{k+1}, v_M \rangle_{M,\omega} + a_\omega \langle u_M^{k+1}, v_M \rangle = \langle V^{I, \alpha_1, \dots, \alpha_n}(u_M^\circ, \dots, u_M^k), v_M \rangle_{M,\omega} + \langle I_M^c f^{k+1}, v_M \rangle_{M,\omega}.$$

A(L-CS-I): تقریب طیفی چیزش  $(k = 0 : N - 1)$  را به گونه‌ای پیدا می‌کنیم که برای هر  $v_M \in \mathbb{P}_M$  داشته باشیم:

$$\sum_{j=1}^{m+1} r_j \alpha_j^{-1} \Delta t^{-1} D_{\alpha_j, k+1}^{k+1} \langle u_M^{k+1}, v_M \rangle_{M,\omega} + a_\omega \langle u_M^{k+1}, v_M \rangle = \langle V^{II, \alpha_1, \dots, \alpha_n}(u_M^\circ, \dots, u_M^k), v_M \rangle_{M,\omega} + \langle I_M^c f^{k+1}, v_M \rangle_{M,\omega}.$$

## ۲.۳ حالت دوم: معادله‌ی انتشار کسری-زمانی از مرتبه‌ی توزیعی شبه خطی

با استفاده از بسط سری تیلور داریم:

$$\begin{cases} Q(\mathcal{U}^\circ) = Q(\mathcal{U}^\circ) + Q'(\mathcal{U}_\theta) \partial_t \mathcal{U}(x, t_\tau) \Delta t, & k = 0 \\ Q(\mathcal{U}^{k+1}) = \mathcal{Q}(\mathcal{U}^k) - Q(\mathcal{U}^{k-1}) + O(\Delta t^\alpha), & k \geq 1. \end{cases} \quad (6.3)$$

با جای‌گزین کردن  $(\mathcal{U}^{k+1}(x) = u^{k+1})$  با جواب تقریبی  $(u^\circ = h(x))$  مسئله‌ی نیمه‌گسسته زیر را به دست می‌آوریم: QL-CT-II: فرض کنید  $(k = 0 : M - 1)$  را طوری پیدا کنیم که

$$\begin{cases} \sum_{j=1}^{m+1} q_j \alpha_j^{-1} \Delta t^{-1} D_{\alpha_j, k+1}^{k+1} u^{k+1}(x) - \partial_x^\alpha u^{k+1}(x) \\ = V^{I, \alpha_1, \dots, \alpha_{m+1}}(u^\circ, \dots, u^k) + \begin{cases} Q(u^\circ) + f^\circ(x), & k = 0, \\ \mathcal{Q}(u^k) - Q(u^{k-1}) + f^{k+1}(x), & k \geq 1, \end{cases} \\ u^{k+1}|_{x \in \partial\Omega} = 0, -1 \leq k \leq M - 1, \end{cases} \quad (7.3)$$

که در آن

$$V^{I, \alpha_1, \dots, \alpha_{m+1}}(u^\circ, \dots, u^k) = \sum_{j=1}^{m+1} q_j \alpha_j^{-1} \Delta t^{-1} W^{\alpha_j}(u^\circ, \dots, u^k).$$

طرح QL-CS-II: فرض کنید  $u^\circ = h(x)$  داده شده است. اکنون  $(k = 0 : M - 1)$  را طوری پیدا کنیم که

$$\begin{cases} \sum_{j=1}^{m+1} r_j \alpha_j^{-1} \Delta t^{-1} D_{\alpha_j, k+1}^{k+1} u^{k+1}(x) - \partial_x^\alpha u^{k+1}(x) \\ = V^{II, \alpha_1, \dots, \alpha_{m+1}}(u^\circ, \dots, u^k) + \begin{cases} Q(u^\circ) + f^\circ(x), & k = 0, \\ \mathcal{Q}(u^k) - Q(u^{k-1}) + f^{k+1}(x), & k \geq 1, \end{cases} \\ u^{k+1}|_{x \in \partial\Omega} = 0, -1 \leq k \leq M - 1, \end{cases} \quad (8.3)$$

که در آن

$$V^{II,\alpha_1, \dots, \alpha_{m+1}}(u^\circ, \dots, u^k) = \sum_{j=1}^{m+1} r_j \alpha_j^{-1} \Delta t^{-1} W^{\alpha_j}(u^\circ, \dots, u^k).$$

تعریف می‌کنیم:

$$G^k = \begin{cases} Q(u_M^\circ) + f^\circ, k = \circ, \\ 2Q(u_M^k) - Q(u_M^{k-1}) + f^{k+1}, k \geq 1. \end{cases}$$

جواب عددی را برای مسئله‌ی نیمه‌گستته (۷.۳) و (۸.۳) در فضای  $\mathbb{P}_M^\circ$  به دست می‌آوریم.  $v_M \in \mathbb{P}_M^\circ$ : A(QL-CT-II) تقریب طیفی چیشی (۱) را به گونه‌ای پیدا می‌کنیم که برای هر داشته باشیم:

$$\sum_{j=1}^{m+1} q_j \alpha_j^{-1} \Delta t^{-1} D_{\alpha_j, k+1}^{k+1} \langle u_M^{k+1}, v_M \rangle_{M, \omega} + a_\omega \langle u_M^{k+1}, v_M \rangle = \langle V^{I, \alpha_1, \dots, \alpha_n}(u_M^\circ, \dots, u_M^k), v_M \rangle_{M, \omega} + \langle I_M^c G^k, v_M \rangle_{M, \omega}.$$

$v_M \in \mathbb{P}_M^\circ$ : A(QL-CS-II) تقریب طیفی چیشی (۱) را به گونه‌ای پیدا می‌کنیم که برای هر داشته باشیم:

$$\sum_{j=1}^{m+1} r_j \alpha_j^{-1} \Delta t^{-1} D_{\alpha_j, k+1}^{k+1} \langle u_M^{k+1}, v_M \rangle_{M, \omega} + a_\omega \langle u_M^{k+1}, v_M \rangle = \langle V^{II, \alpha_1, \dots, \alpha_n}(u_M^\circ, \dots, u_M^k), v_M \rangle_{M, \omega} + \langle I_M^c G^k, v_M \rangle_{M, \omega}.$$

## ۴ مثال‌های آزمایشی

در این بخش چندین مثال عددی برای آزمایش عمل کرد روشن پیش‌نهادی ارائه می‌دهیم. برنامه‌ها با استفاده از نرم افزار Maple نوشته شده و روی کامپیوتر CoriV-۹۷۰@۳۰۰GHz-۳۰۰GHz با مشخصات ۱۶G RAM اجرا شده است. پایداری و دقت روش پیش‌نهادی را برای مقادیر متفاوت  $M$  و  $N$  نشان می‌دهیم.

۱. (معیار اندازه‌گیری خطای مطلق ماکسیمم  $e_{rms}^{M,N}$  و خطای مانده  $e_\infty^{M,N}$ ) را با فرمول‌های زیر اندازه‌گیری می‌کنیم:

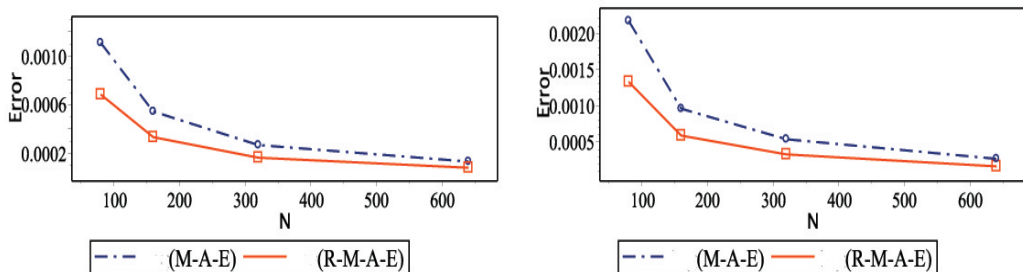
$$e_\infty^{M,N} = \max_{\circ \leq i \leq M} |\mathcal{U}^N(z_i) - u_M^N(z_i)|,$$

و

$$e_{rms}^{M,N} = \sqrt{\frac{1}{M+1} \sum_{i=0}^M |\mathcal{U}^N(z_i) - u_M^N(z_i)|^2}.$$

۲. (سرعت هم‌گرایی) سرعت هم‌گرایی به صورت زیر قابل محاسبه است:

$$\text{Ratio} = \log_{\gamma} \left[ \frac{e_\infty^{M,N/\gamma}}{e_\infty^{M,N}} \right].$$



(a1) A(QL-II) ( $\alpha_1 = 0.22, \alpha_2 = 0.33$ )      (a2) A(QL-II) ( $\alpha_1 = 0.33, \alpha_2 = 0.41$ )

شکل ۱: تغییرات  $e_{rms}^{M,N}$  و  $e_\infty^{M,N}$  نسبت به  $N$  با  $M = 20$  (مثال ۸.۴).

$N$	$\alpha_1 = 0.31, \alpha_2 = 0.81$		Ratio	CPU time (s)
	$e_{\infty}^{M,N}$	$e_{rms}^{M,N}$		
۴۰	۱.۴۹۶۱۰۴e-۵	۹.۸۳۳۱۵۵e-۶	-	۱۰.۱۲
۸۰	۳.۷۴۰۲۶۵e-۶	۲.۴۴۸۵۶۵e-۶	۲.۰۰۰۰	۱۵.۷۸
۱۶۰	۹.۳۷۴۴۳۳e-۷	۵.۹۷۷۷۰۹e-۷	۲.۰۰۰۰	۲۷.۵۴
$N$	$\alpha_1 = 0.71, \alpha_2 = 0.91$		Ratio	CPU time (s)
	$e_{\infty}^{M,N}$	$e_{rms}^{M,N}$		
۴۰	۴.۰۷۹۰۹۹e-۵	۲.۶۸۰۶۵۱e-۵	-	
۸۰	۱.۰۲۰۵۲۵e-۵	۶.۷۰۸۳۱۹e-۶	۱.۹۹۸۹	
۱۶۰	۲.۵۴۹۶۳۶e-۶	۱.۶۷۷۶۴۶e-۶	۲.۰۰۰۹	

جدول ۱. مقادیر خطای A(L-I) (مثال ۱.۴).

$N$	$\nu_1 = 0.1, \nu_2 = 0.8$		Ratio	CPU time (s)
	$e_{\infty}^{M,N}$	$e_{rms}^{M,N}$		
۴۰	۸.۱۰۳۸۴۶e-۶	۴.۹۹۳۴۸e-۶	-	۱۳.۵۸
۸۰	۲.۰۲۰۳۰۹e-۶	۱.۲۴۷۴۶۹e-۶	۲.۰۰۴۰	۱۷.۴۳
۱۶۰	۴.۹۹۰۲۸۵e-۷	۳.۱۰۷۲۹۸e-۷	۲.۰۱۷۴	۳۴.۱۵
۳۲۰	۱.۲۳۸۸۰۸e-۷	۷.۶۵۰۱۶۹e-۷	۲.۰۱۰۲	۴۳.۰۸
$N$	$\nu_1 = 0.1, \nu_2 = 0.4$		Ratio	CPU time (s)
	$e_{\infty}^{M,N}$	$e_{rms}^{M,N}$		
۴۰	۱.۴۷۷۷۸۱e-۶	۹.۱۳۴۰۰۳e-۷	-	
۸۰	۳.۶۳۵۱۲۱e-۷	۲.۲۷۲۸۶۷e-۷	۲.۰۲۳۴	
۱۶۰	۹.۱۱۸۳۶۴e-۸	۰.۵۸۰۵۱۱e-۸	۱.۹۹۰۲	
۳۲۰	۲.۴۸۵۹۱۲e-۸	۱.۳۶۲۰۲۶e-۸	۱.۸۷۵۰	

جدول ۲. مقادیر خطای A(L-CT-I) (مثال ۲.۴).

$N$	$\nu_1 = 0.1, \nu_2 = 0.8$		Ratio
	$e_{\infty}^{M,N}$	$e_{rms}^{M,N}$	
۴۰	۲.۳۵۶۰۳۱e-۶	۲.۰۶۳۳۰۸e-۶	-
۸۰	۸.۴۵۲۴۵۸e-۷	۰.۱۷۰۴۲۴e-۷	۱.۹۸۹۳
۱۶۰	۲.۱۷۵۲۴۷e-۷	۱.۳۰۵۳۲۲e-۷	۱.۹۵۸۲
۳۲۰	۶.۰۴۲۲۷۳e-۸	۳.۳۹۸۱۱۰e-۸	۱.۸۴۷۸
$N$	$\nu_1 = 0.1, \nu_2 = 0.4$		Ratio
	$e_{\infty}^{M,N}$	$e_{rms}^{M,N}$	
۴۰	۴.۷۱۹۵۹۴e-۷	۹.۱۳۴۰۰۳e-۷	-
۸۰	۱.۲۳۹۷۸۲e-۷	۷.۲۹۵۲۲۴e-۸	۱.۹۲۸۶
۱۶۰	۳.۶۹۷۸۵۶e-۸	۱.۹۱۴۲۲۲e-۸	۱.۷۴۰۳
۳۲۰	۱.۰۱۹۴۵۲e-۸	۶.۱۰۹۳۸۹e-۹	۱.۸۰۸۹

جدول ۳. مقادیر خطای A(L-CS-I) (مثال ۳.۴).

مثال ۱.۴. معادلات انتشار کسری-زمانی چندجمله‌ای خطی زیر را در نظر می‌گیریم:

$$\begin{cases} {}_{\textcircled{C}}^F \partial_t^{\alpha_1} \mathcal{U}(x, t) + {}_{\textcircled{C}}^F \partial_t^{\alpha_2} \mathcal{U}(x, t) = \partial_x^\nu \mathcal{U}(x, t) + f(x, t), & (x, t) \in (-1, 1) \times (0, 1], \\ \mathcal{U}(x, 0) = \sin(2\pi x), & x \in (-1, 1) \\ \mathcal{U}(-1, t) = \mathcal{U}(1, t) = 0, & t \in (0, 1]. \end{cases} \quad (1.4)$$

که در آن

$$f(x, t) = +2e^t \sin(2\pi x) + 4e^t \sin(2\pi x)\pi^\nu - (e^{-\frac{\alpha_1 t}{1+\alpha_1}} + e^{-\frac{\alpha_2 t}{1+\alpha_2}}) \sin(2\pi x).$$

جواب دقیق مثال ۱.۴ به صورت زیر داده شده است:

$$\mathcal{U}(x, t) = e^t \sin(2\pi x).$$

نتایج عددی برای A(L-I): جدول ۱ نتایج عددی را برای A(L-I) با مقادیر  $\alpha_1 = 0.71, \alpha_2 = 0.31, \alpha_3 = 0.11$  نشان می‌دهد. در این جدول مدت زمان اجرای برنامه گزارش شده است.

مثال ۲.۴. معادلات انتشار کسری-زمانی چندجمله‌ای خطی زیر را در نظر می‌گیریم:

$$\begin{cases} {}_{\textcircled{C}}^F \partial_t^{\alpha_1} \mathcal{U}(x, t) + {}_{\textcircled{C}}^F \partial_t^{\alpha_2} \mathcal{U}(x, t) = \partial_x^\nu \mathcal{U}(x, t) - \sin(\mathcal{U}) + f(x, t), & (x, t) \in (-1, 1) \times (0, 1], \\ \mathcal{U}(x, 0) = \sin(\pi x), & x \in (-1, 1) \\ \mathcal{U}(-1, t) = \mathcal{U}(1, t) = 0, & t \in (0, 1]. \end{cases} \quad (2.4)$$

که در آن

$$f(x, t) = +2e^t \sin(\pi x) + e^t \sin(\pi x)\pi^\nu - (e^{-\frac{\alpha_1 t}{1+\alpha_1}} + e^{-\frac{\alpha_2 t}{1+\alpha_2}}) \sin(\pi x) + \sin(e^t \sin(\pi x)).$$

جواب دقیق مثال ۲.۴ به صورت زیر داده شده است:

$$\mathcal{U}(x, t) = e^t \sin(\pi x).$$

نتیجه عددی برای A(QL-II): تغییرات  $e_{rms}^{M,N}$  و  $e_\infty^{M,N}$  نسبت به  $N$  برای  $a_1 - a_2$  در شکل ۱ نشان داده شده است.

مثال ۳.۴. معادلات انتشار کسری-زمانی مرتبه توزعی زیر را در نظر می‌گیریم:

$$\begin{cases} \int_{\nu_1}^{\nu_2} \alpha^\nu {}_{\textcircled{C}}^F \partial_t^\alpha \mathcal{U}(x, t) d\alpha = \partial_x^\nu \mathcal{U}(x, t) + f(x, t), & (x, t) \in (-1, 1) \times (0, 1], \\ \mathcal{U}(x, 0) = 0, & x \in (-1, 1) \\ \mathcal{U}(-1, t) = \mathcal{U}(1, t) = 0, & t \in (0, 1]. \end{cases}$$

که در آن

$$f(x, t) = (-\Lambda \int_{\nu_1}^{\nu_2} (-\alpha + e^{-\frac{t\alpha}{1+\alpha}} (\alpha - 1) - t\alpha + 1) d\alpha + 4t^\nu \pi^\nu) \sin(\pi x).$$

جواب دقیق مثال ۳.۴ به صورت زیر داده شده است:

$$\mathcal{U}(x, t) = 4t^\nu \sin(\pi x).$$

نتایج عددی برای A(L-CT-I): جدول ۲ نتایج عددی را برای A(L-CT-I) با مقادیر  $\nu_1 = 0.1, \nu_2 = 0.1, \nu_3 = 0.6$  نشان می‌دهد. در این جدول مدت زمان اجرای برنامه گزارش شده است.

نتایج عددی برای A(L-CS-I): جدول ۳ نتایج عددی را برای A(L-CS-I) با مقادیر  $\nu_1 = 0.1, \nu_2 = 0.6$  نشان می‌دهد. همچنان عدد وضعیت ماتریس برای مقادیر مختلف  $N$  در جدول ۴ گزارش شده است.

<i>N</i>	۱۳	۱۵	۱۷	۱۹
CN	۱۴۰.۸۷	۲۸۵.۳۲	۷۸۱.۷۳	۱۰۲۱.۰۴

جدول ۴. عدد وضعیت ماتریس نهایی برای مقادیر مختلف *N*.

## ۵ نتیجه‌گیری

در این مقاله، ابتدا معادله‌ی انتشار کسری-زمانی چندجمله‌ای مبتنی بر یک عمل‌گر کسری جدید را در نظر گرفتیم و با استفاده از ترکیب روش تفاضل متناهی و روش طیفی چیشیف یک جواب عددی برای این معادلات ارائه دادیم. همچنین توسعه‌ی معادلات انتشار کسری-زمانی چندجمله‌ای به معادلات مرتبه‌ی توزیعی را در نظر گرفتیم و یک آنالیز عددی روی این معادلات انجام دادیم. نشان دادیم که طرح‌های تفاضلی پیش‌نهادی بدون قیدوشرط پایدارند. تخمین‌هایی برای خطای زمانی-مکانی به دست آورده‌یم و ثابت کردیم که سرعت همگرایی روش پیش‌نهادی در زمان و مکان به ترتیب ۲ و ۲ است. در پایان، مثال‌های عددی آورده‌یم که نتایج نظری را تایید می‌کنند.

## فهرست منابع

- [1] D. A. Benson, R. Schumer, M. M. Meerschaert, and S. W. Wheatcraft, Fractional dispersion, Levy motion, and the MADE tracer tests, *Transport in porous media*, **42** (2001), 211-240.
- [2] B. OShaughnessy and I. Procaccia, Analytical solutions for diffusion on fractal objects, *Physical review letters*, **54** (1985), 455.
- [3] M. R. Ubriaco, A simple mathematical model for anomalous diffusion via Fisher's information theory, *Physics Letters*, **373** (2009), 4017-4021.
- [4] M. Fardi, A kernel-based pseudo-spectral method for multi-term and distributed order time-fractional diffusion equations, *Numerical Methods Partial Differential Equations*, **39**(2023), 2630-2651.
- [5] M. Fardi, S.-K.-Q. Al-Omari, and S. Araci, S. A pseudo-spectral method based on reproducing kernel for solving the time-fractional diffusion-wave equation, *Advance in Continuous Discrete Models*, **54** (2022), 1-14.
- [6] M. Fardi, M. A. Zaky, and A. S. Hendy, Nonuniform difference schemes for multi-term and distributed-order fractional parabolic equations with fractional Laplacian, *Mathematic and Computers in Simulation*, **206** (2023), 614–635.
- [7] M. Fardi, Y. Khan, A fast difference scheme on a graded mesh for time-fractional and space distributed-order diffusion equation with nonsmooth data, *International Journall of Modern Physics B*, **36** (2022), 2250076.
- [8] M. Fardi, and M. Ghasemi, A numerical solution strategy based on error analysis for time-fractional mobile/immobile transport model, *Soft Computing*, **25** (2021), 11307–11331.
- [9] S. Mohammadi, M. Ghasemi, and M. Fardi, A fast Fourier spectral exponential time-differencing method for solving the time- fractional mobile-immobile advection-dispersion equation, *Computational and Applied Mathematics*, **41** (2022), 264.
- [10] M. Fardi and E. Amini, Numerical investigation of a new difference scheme on a graded mesh for solving the time-space fractional sub-diffusion equations with nonsmooth solutions, *Journal of Advanced Mathematical Modeling*, **12** (2022), 212-231.

- [11] E. Amini, Optimal Control Problems: Convergence and Error Analysis in Reproducing Kernel Hilbert Spaces, *Control and Optimization in Applied Mathematics*, **6** (2021), 53-77.
- [12] Z. Hao and W. Cao, An improved algorithm based on finite difference schemes for fractional boundary value problems with nonsmooth solution, *Journal of Scientific Computing*, **73** (2017), 395-415.
- [13] M. M. Meerschaert and C. Tadjeran, Finite difference approximations for fractional advection-dispersion flow equations, *Journal of computational and applied mathematics*, **172** (2004), 65-77.
- [14] Z. Zhao, Y. Zheng , and P. Guo, A Galerkin finite element method for a class of time-space fractional differential equation with nonsmooth data, *Journal of Scientific Computing*, **70** (2017), 386-406.
- [15] Z. Hao, M. Park, G. Lin and Z. Cai, Finite element method for two-sided fractional differential equations with variable coefficients: Galerkin approach, *Journal of Scientific Computing*, **79** (2019), 700-717.
- [16] F. Zeng, Z. Mao, and G. E. Karniadakis, A generalized spectral collocation method with tunable accuracy for fractional differential equations with end-point singularities, *SIAM Journal on Scientific Computing*, **39**(2017), A360-A383.
- [17] Z. Zhang, F. Zeng, and G. E. Karniadakis, Optimal error estimates of spectral Petrov-Galerkin and collocation methods for initial value problems of fractional differential equations, *SIAM Journal on Numerical Analysis*, **53** (2015), 2074-2096.
- [18] Q. Xu and J. S. Hesthaven, Discontinuous Galerkin method for fractional convection-diffusion equations, *SIAM Journal on Numerical Analysis*, **52**(2014), 405-423.
- [19] A. Simmons, Q. Yang, and T. Moroney, A finite volume method for two-sided fractional diffusion equations on non-uniform meshes, *Journal of Computational Physics*, **335** (2017), 747-759.
- [20] M. Caputo, and M. Fabrizio, A new definition of fractional derivative without singular kernel, *Progr. Fract. Differ. Appl.*, **1** (2015), 1-13.
- [21] J. Losada, and J. J. Nieto, Properties of a new fractional derivative without singular kernel, *Progr. Fract. Differ. Appl.*, **1** (2015), 87-92.
- [22] M. Caputo, and M. Fabrizio, Applications of new time and spatial fractional derivatives with exponential kernels, *Progr. Fract. Differ. Appl.*, **2** (2016), 1-11.
- [23] M. A. Dokuyucu, E. Celik, H. Bulut, and H. M. Baskonus, Cancer treatment model with the Caputo-Fabrizio fractional derivative, *The European Physical Journal Plus*, **133**(2018), 1-6.
- [24] S. Bushnaq, S. A. Khan, K. Shah, and G. Zaman, Mathematical analysis of HIV/AIDS infection model with Caputo-Fabrizio fractional derivative, *Cogent Mathematics & Statistics*, **5** (2018), 1432521.
- [25] D. Baleanu, A. Jajarmi, H. Mohammadi, and S. Rezapour, A new study on the mathematical modelling of human liver with Caputo-Fabrizio fractional derivative, *Chaos, Solitons & Fractals*, **134** (2020), 109705.
- [26] L. Zhengguang, A. Cheng, and L. Xiaoli, A second-order finite difference scheme for quasilinear time fractional parabolic equation based on new fractional derivative, *International Journal of Computer Mathematics*, **95** (2018), 396-411.

- [27] J. Shen, T. Tang, and L. Wang, *Spectral Methods: Algorithms, Analysis and Applications*, Springer, 2013.
- [28] C. Canuto, and A. Quarteroni, Approximation results for orthogonal polynomials in Sobolev spaces, *Mathematics of Computation*, **38** (1982), 67-86.
- [29] A. Quarteroni and A. Valli, *Numerical approximation of partial differential equations*, Springer Science & Business Media, 2008.
- [30] C. Bernardi and Y. Maday, *Approximations spectrales de problemes aux limites elliptiques*, Springer, 1992.



## Numerical investigation and error estimate for multi-term time-fractional diffusion equations based on a new fractional operator

M. Fardi<sup>1, †</sup>, E. Amini<sup>2</sup>

(<sup>1</sup>) Department of Applied Mathematics, Faculty of Mathematical Science, Shahrekord University,  
Shahrekord, P. O. Box 115, Iran.

(<sup>2</sup>) Department of Mathematics, Payame Noor University, P. O. Box 19395-4697 Tehran, Iran.

Communicated by: Abdolrahman Razani

Received: 2023/1/14

Accepted: 2023/5/6

**Abstract:** In this paper, a numerical method is provided for solving multi-term time-fractional diffusion equations associated with a new fractional operator. A semi-discrete scheme is obtained in temporal direction based on the finite difference method afterwards, a Chebyshev-spectral method is used for spatial discretization. Also, the stability and error analysis are investigated. Moreover, the multi-term time-fractional diffusion equation is extended to a distributed order diffusion equation and numerical analysis has been done on it. Finally, the theoretical results are confirmed using some numerical examples.

**Keywords:** Time fractional diffusion equation; Spectral Approximation; Stability analysis; Error analysis.



©2023 Shahid Chamran University of Ahvaz, Ahvaz, Iran. This article is an open access article distributed under the terms and conditions of the Creative Commons Attribution-NonComertial 4.0 International (CC BY-NC 4.0 license) (<http://creativecommons.org/licenses/by-nc/4.0/>).

---

<sup>†</sup>Corresponding author.

E-mail addresses: [m.fardi@sku.ac.ir](mailto:m.fardi@sku.ac.ir) (M. Fardi).